

# KİRŞEHİR BLOĞUNDAKİ YOZGAT BATOLİTİ DOĞU KESİMINİN (SORGUN GÜNEYİ) PETROGRAFİSİ, ANA ELEMENT JEOKİMYASI VE PETROJENEZİ

PETROGRAPHY, MAJOR ELEMENT GEOCHEMISTRY AND PETROGENESIS OF  
THE EASTERN PART OF THE YOZGAT BATHOLITH FROM THE KİRŞEHİR  
BLOCK, SOUTH OF SORGUN TOWN, CENTRAL ANATOLIA, TURKEY

Durmuş BOZTUĞ

Cumhuriyet Üniversitesi Müh. Fak., Jeoloji Müh. Bölümü, 58140 Sivas.

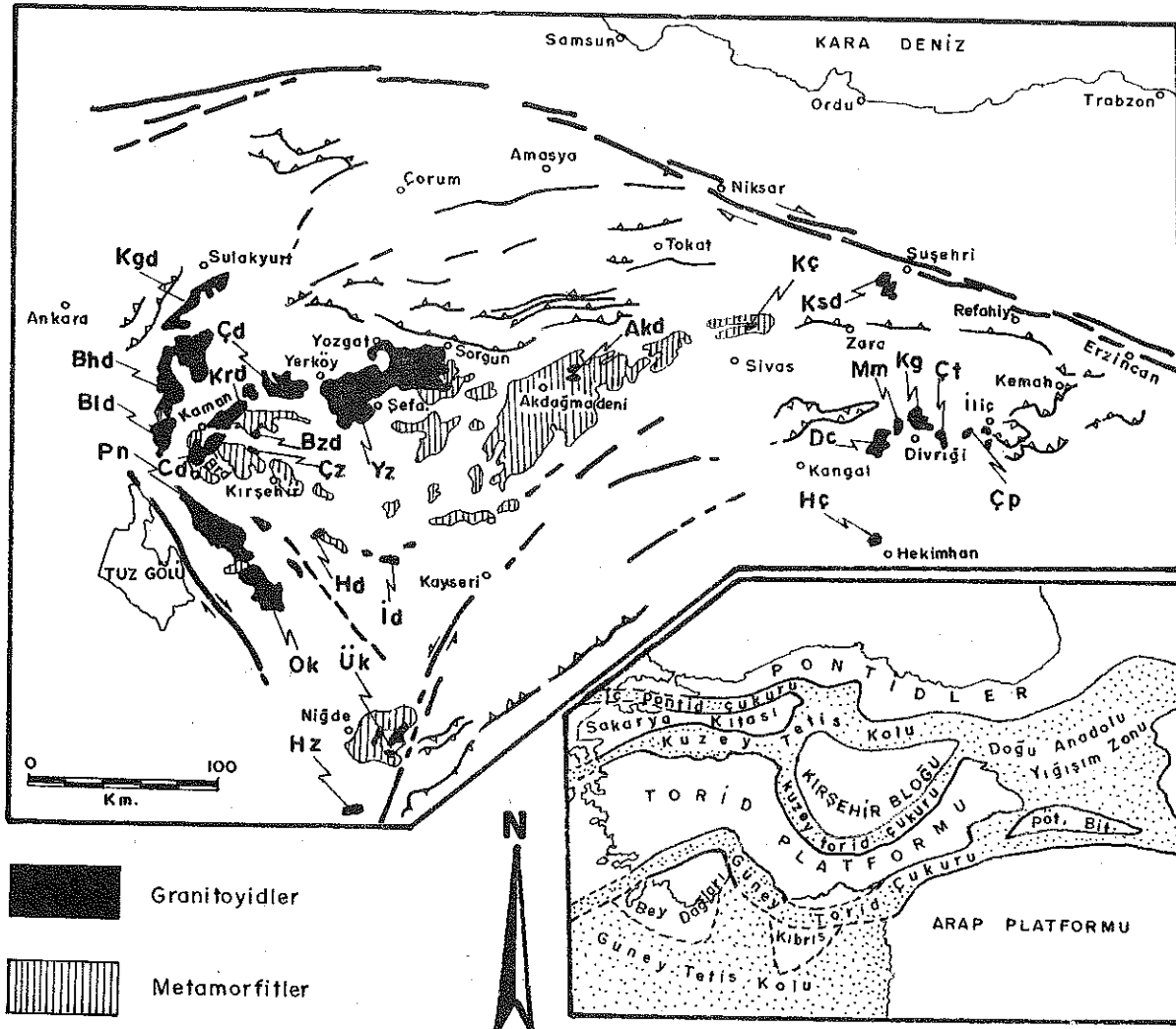
**ÖZ:** Kırşehir bloğunun kuzey kesimlerinde, Yozgat ilinin hemen güneyinde Yerköy - Şefaatli ve Sorgun ilçeleri arasında yaklaşık  $1200 \text{ km}^2$ lik bir alan kaplayan Paleosen yaşlı Yozgat batoliti, Sorgun güneyi kesiminde, Mesozoyik öncesi yaşlı Kaman grubu metemorfitlerine sokulum yapmış ve Eosen yaşlı kayaçlarla uyumsuz olarak örtülülmüştür. Orta - kaba taneli ve holokristalın - hipidiyomorf taneli doku, yer yer iki K-feldispat mineralerinin varlığıyla belirginleşen porfirik doku gösteren yozgat batoliti, Sorgun güneyi kesimi kayaçları başlıca monzonit, Kuvars- monzonit, kuvars- monzodiyorit ve adamellit bilesiminde olmakla birlikte kuvars- siyenit porfir türü damarkayaçları da bulunmaktadır. Bunalardan monzonit ve kuvars- monzonitlerde ana mafik mineraler hornblend + klinopyroxen mineralerinden oluşurken, kuvars- monzodiyoritler ve adamellitlerde ise hornblend + biyotit mineralerinden oluşmaktadır. Mineralojik - petrografik ve ana element jeokimyası verilerinin birlikte değerlendirilmeleri sonucunda, tipik olarak metalümino, kafemik (CAFEM), alkalilerce aşırı doygún (ALKOS) ve I - tipi bir magmanın varlığı belirlenmiştir. Alkalilerce zenginlik özellikle %  $\text{K}_2\text{O}$  içeriğindeki fazlalıkta yansımaktadır. Potasyum içeriğindeki bu fazlalık I - tipi (LFB) olarak tanımlanan ve yay magmatizması ile meydana gelebilecek alt kabuk malzemesinin kısmi ergimeye uğraması sonucu oluşan bir magmadan türeyen granitoidler için önemli bir karakteristik olarak değerlendirilmektedir. Yozgat batoliti Sorgun güneyi kesimi kayaçlarının, Alt Tertiye öncesi bir dönemde meydana gelen yay magmatizması ile derin kabukta meydana gelen magmatik kayaçların, Alt Tertiye'deki çarpışma ile ilgili kabuk kalınlaşmasına bağlı olarak kısmi ergimeye uğramaları sonucu türetikleri magmadan itibaren meydana gelebilecekleri düşünülmektedir.

**ABSTRACT:** The Paleocene Yozgat batholith covers an area of approximately  $1200 \text{ km}^2$  just to the south of Yozgat province, situated in the northern part of Kırşehir block, particularly around Yerköy, Şefaatli and Sorgun towns. The easternmost part of the Yozgat batholith is seen to be emplaced within the pre-Mesozoic Kaman metamorphic group in the south of Sorgun town. It is depositionally overlain by the Eocene rocks. These magmatic rocks, medium to coarse grained, show granular and sometime porphyritic texture due especially to K-feldspar megacrysts. They are composed of monzonite, quartz monzonite, quartz monzodiorite and adamellite with rarely outcropped quartz syenite porphyry veins. The main mafic constituents of monzonites and quartz monzonites are made up of hornblende + clinopyroxene whereas those of quartz monzodiorites and adamellites made up of hornblende + biotite minerals. The mineralogical - petrographical and major element geochemical data have concluded that the magmatic rocks of the south of Sorgun town possess a metaluminous, cafemic (CAFEM), alkaline oversaturated (ALKOS) and typically I-type magma character. The alkali enrichment is particularly marked by the excess  $\text{K}_2\text{O}$  content. I-type granitic rocks excess potassium content is mainly seen in the Lachlan Fold Belt (LFB) of Australia which may be also called I-Type (LFB). These types of granitic rocks are considered to have been formed by a magma generated from the partial melting of the igneous rocks taking place in the deeper parts of crust which were formed by an earlier arc magmatism. The following petrogenetical model can be suggested by taking into account the regional geological setting of the studied area and surroundings. The Yozgat batholith can be formed by a magma derived from the deep crustal rocks due presumably to crustal thickening during Lower Tertiary. These deep crustal source rocks are thought to be produced by an arc magmatism of pre - Lower Tertiary.

## GİRİŞ

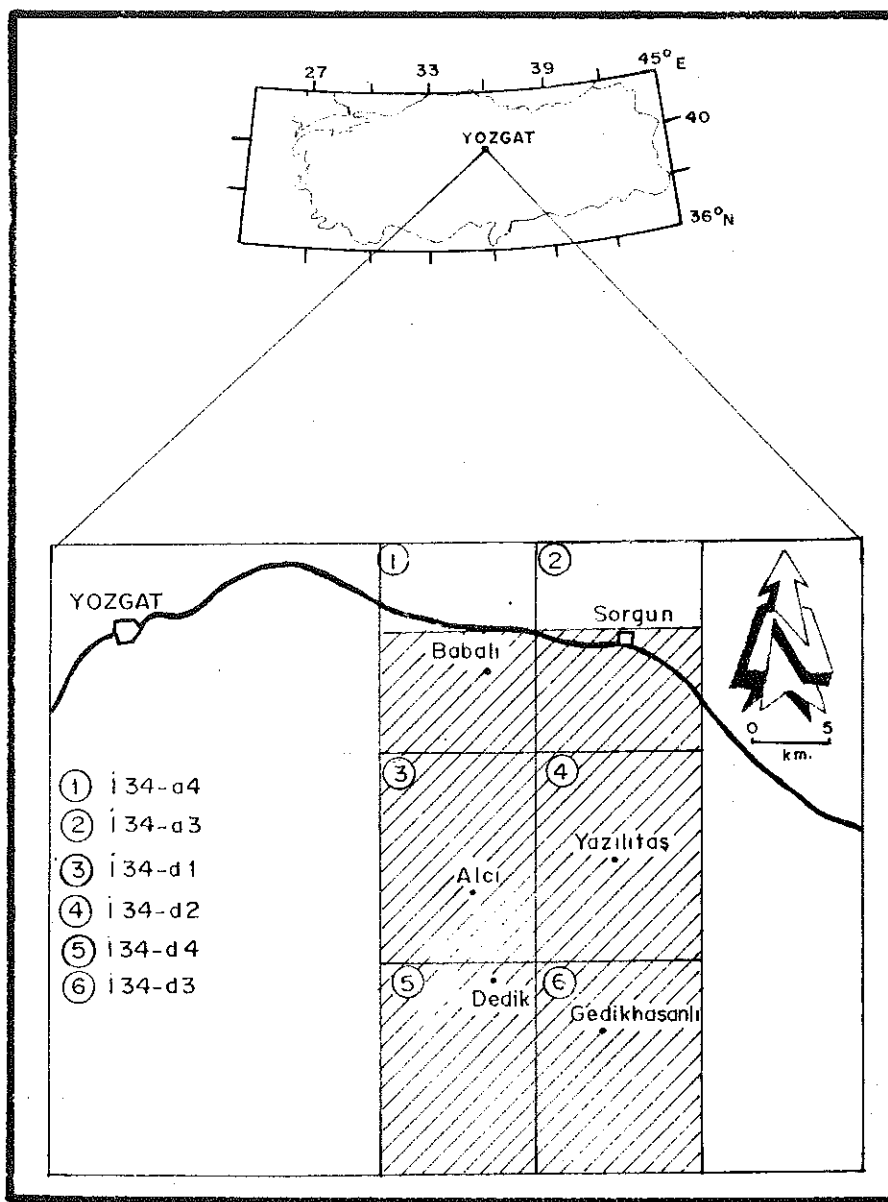
İç Anadolu bölgesinde özellikle Kırşehir ve Yozgat çevresinde yüzeylenen magmatik ve metamorfik kayaçlar topluluğu genel olarak "Kırşehir Masifi", Kızılırmak Masifi" veya "Orta Anadolu Masifi" olarak adlandırı-

maktadır (Erkan, 1981). Diğer taraftan, Lünel (1985) ise magmatik ve metamorfik kayaçların tümünü "Kırşehir Kompleksi" olarak tanımlarken, metamorfitleri - özellikle Seymen (1981)'e dayanarak- "Kaman Metamorfik Süpersuiti", başlıca granitik bileşimli kayaçlardan oluşan



**Şekil 1.** Kirşehir bloğu ve hemen yakınındaki kıtasal kabuk kökenli magmatik derinlik kayaçları ile metamorfitlerin dağılımı (1/500.000 ölçekli Türkiye Jeoloji Haritası Kayseri paftası ile 1/2 000.000 ölçekli Türkiye Jeoloji Haritasına (Bingöl, 1989) dayandırılmıştır). Kirşehir bloğu ve çevresindeki diğer jeotektonik ortamları gösteren sağ alt köşedeki şekil ise Poisson (1986) dan alınmıştır. Granitoyidler için kullanılan kısaltmaların anlamları: (Doğudan batıya doğru) Çp, Çöpler plutonu; Ct, Çaltı plutonu; Kg, Karagban plutonu, Ksd, Kösedağ plutonu; Mm, Murmano plutonu; Dc, Dumluca plutonu; Hç, Hasançelebi plutonu; Kç, Karaçayır plutonu; Akd, Akdağmadeni plutonu, Yz, Yozgat plutonu; Yz, Yozgat batolithi; Id, İdişdağ plutonu; İk, İçkapılı plutonu; Hz, Horoz plutonu; Cd, Çicekdağ plutonu; Bzd, Buzlukdağ plutonu; Cz, Çayağzı plutonu; Hd, Hırkadağ plutonu; Krd, Kortundağ plutonu; Brd, Baranadağ plutonu; Cd, Cefahlıdağ plutonu; Pn, Panlı plutonu; Ok, Ortaköy plutonu; Kgd, karagineydağ plutonu; Bhd, Behrekdağ plutonu; Bld, Bolkardağ plutonu.

**Figure 1.** The distribution of the crustal magmatic rocks and metamorphites in and just around the Kirşehir block (It is based mainly on the Kayseri sheet of the geological map of Turkey with a scale of 1/500.000 and on the geological map of Turkey with a scale of 1/2.000.000 by Bingöl 1989). The lower - right inset representing the Kirşehir block and its surrounding is taken after Poisson (1986). The abbreviations used for the granitoids are as follow (from east to west): Çp, Çöpler pluton; Ct, Çaltı pluton; Kg, Karagban pluton, Ksd, Kösedağ pluton; Mm, Murmano pluton; Dc, Dumluca pluton; Hç, Hasançelebi pluton; Kç, Karaçayır pluton; Akd, Akdağmadeni pluton, Yz; Yozgat pluton; Yz, Yozgat batholith; Id, İdişdağ pluton; İk, İçkapılı pluton; Hz, Horoz pluton; Cd, Çicekdağ pluton; Bzd, Buzlukdağ pluton; Cz, Çayağzı pluton; Hd, Hırkadağ pluton; Krd, Kortundağ pluton; Brd, Baranadağ pluton; Cd, Cefahlıdağ pluton; Pn, Panlı pluton; Ok, Ortaköy pluton; Kgd, karagineydağ pluton; Bhd, Behrekdağ pluton; Bld, Bolkardağ pluton.



Şekil 2. Yer bulduru haritası

Figure 2. Location map

derinlik kayaçlarını ise "Kırşehir İintrüzif Suiti" olarak tanımlamıştır. Bayhan (1986) ise yukarıda belirtilen magmatik derinlik kayaçlarını "İç Anadolu Granitoid Kuşağı" olarak isimlendirmiştir. Son yillardaki levha tektoniği ilkelerine dayalı geniş bölgeleri içeren jeolojik sentez çalışmalarında ise, yaklaşık olarak Ankara - Niğde - Sivas üçgeni arasında yer alan ve magmatik - metamorfik kayaclardan oluşan kristalin kütle "Kırşehir Bloğu" olarak tanımlanmaktadır (Şengör, 1984; Poisson, 1986). Bu bölge içerisinde tektonik dokanaklı olarak yüzeylenen ve tipik olarak ofiyolitik topluluğu karakterize eden "Ankara Melanjı" ile "Karakaya Ultramafiti" hariç, diğer metemorfitter ve derinlik kayaçları kitasal topluluğu

karakterize ettiklerinden Şengör, (1984) ve Poisson, (1986) tarafından ileri sürülen Kırşehir Bloğu tanımaması bu çalışmada da benimsenmiştir. Kırşehir Bloğunuun kuzey kesimlerinde yer alan Yozgat ilinin güneyinde, Şefaatli - Yerköy - Sorgun ilçeleri arasındaki yörelerde yaklaşık 1200 km<sup>2</sup>'lik bir alanı kaplayan granitoid kütlesi ise, bu çalışmada "Yozgat Batoliti" olarak isimlendirilmiştir. (Şekil 1).

Kırşehir bloğu granitoidlerine göz atıldığında (Şekil 1), bunlardan Çelebidağ ve Bolkardağ plutonlarının Bayhan (1986); Cefalıdağ ve Baranadağ plutonlarının (Ayan, 1963), Ataman (1972), Seyman (1981), Lünel (1985) ve Bayhan (1987); Kortundağ plutonunun Bay-

han (1988) (araştırcı tarafından Bayındır - Akpinar (Kaman) yöresi alkali kayaçları olarak tanımlanmıştır); Buzlukdağ plütonunun Seymen (1981) ve Çayağzı plütonunun ise Bayhan ve Tolluoğlu (1987) (araştırcılar tarafından Çayağzı siyenitoiodi olarak tanımlanmıştır) tarafından incelendiği görülmektedir. Yozgat'ın hemen güneyinde büyük bir alanda yüzeylenen Yozgat batolitinin ise Kettin (1955) tarafından yapılan genel jeoloji amaçlı çalışmadan sonra günümüzde kadar olan süre içinde herhangi bir özgün, mineralojik- petrografik ve jeokimyasal çalışmaya konu olmadığı görülmektedir. Bu çalışma, Yozgat batolitinin mineralojik- petrografik, jeokimyasal ve petrojenetik incelemesini konu alan bir araştırma projesi kapsamında olmak üzere batolitin doğu kesiminden (Sorgun güneyi kesiminden) elde edilen verileri sunmaktadır.

### **İnceleme Alanının Coğrafik Konumu**

Bu çalışmanın konusunu oluşturan Yozgat batolitinin doğu kesimi, Yozgat'a bağlı Sorgun ilçesinin güney ve güneybatı kesimlerinde, 1/25.000 ölçekli I 34 - a3, a4, d1, d2, d3 ve d4 paftalarında olmak üzere yaklaşık 450 km<sup>2</sup>lik bir alanı kapsamaktadır (Şekil 2). Çalışma alanındaki granitik kayaç mostralıları genel olarak yuvarlatılmış ve aşındırılmış tepeler ile yaygın toprak örtüsü gelişmiş düzülükleri oluşturmaktadır. Ancak, bununla birlikte çalışma alanının güney kesimlerindeki Dedić ve Gedikhasanlı köyleri yöreleri ile, kuzey kesimlerindeki Babalı köyü güneyinde (Kerkenez dağı) sarp kayalıklar halinde yüksek topografyaya sahip granitik kayaç çıkmaları da gözlenmektedir. Çalışma alanında tipik bir İç Anadolu iklimi görülmekte olup, yazıları oldukça kurak geçmektedir. Yerleşim birimlerini birbirlerine bağlayan yollar motorlu taşıtlar için yeterli bir ulaşım ağı oluşturmaktadır. Yöredeki en önemli akarsu yatağı ise Kanak çayıdır. Kanak Çayı'nın granitoyidlerden oluşan bir vadide aktığı Gelingüllü köyü yaklarında ise kaya - toprak dolgu türündeki Gelingüllü baraj inşaatı halihazırda devam etmektedir.

### **Çalışma Yöntemleri**

Arazi çalışmaları sırasında 1/25.000 ölçekli jeolojik haritalama ve örnekleme işlemi birlikte yürütülmüştür. Haritalama işlemi, Kettin (1955) tarafından yapılan çalışma ile 1/500.000 ölçekli Türkiye Jeoloji Haritası Kayseri Paftası (Kettin, 1963) esas alınarak revizyon şeklinde yürütülmüştür (Şekil 2, 3). Taze kayaç örneklerinin yüzeylendiği mostralardan toplam 75 adet kayaç örneği alınmıştır. Bunlardan 64 tanesi granitik kayaçlara (Şekil 3'te kimyasal analizi yapılan 34 adedi gösterilmiştir), 11 tanesi ise çevre kayaçlara aittir. Çalışma alanındaki granitik kayaçlar birden fazla 1/25.000 ölçekli topografik haritada yayılım gösterdikleri için, her bir paftadaki en büyük yerleşim biriminin kısaltılması, o pafta için örnek numaralandırmaları indisi olarak kullanılmıştır. Böylece, Şekil 2'de görüleceği gibi, ilgili paftalardaki en büyük yerle-

şim birimleri olan Babalı, Sorgun, Alçı, Yazılıtaş, Dedić ve Gedikhasanlı isimlerinin kısaltmaları olan; sırasıyla BB, SR, AC, YT, DD ve GH indisleri ilgili paftadan alınan kayaç örneklerinin numaralandırılmasında kullanılmışlardır (Şekil 2, 3).

Labortuvar çalışmaları sırasında öncelikle bütün kayaç örneklerinin ince kesitleri yapılarak, alttan aydınlatmalı Nikon - Labophot binoküler tip polarizan mikroskopta optik mineralojik yöntemlerle (Erkan 1978, 1988) incelenmiştir. Mikroskobik incelemeler sonucunda en taze ve karakteristik olarak seçilen toplam 34 adet tüm-kayaç örneği, Fritsch çeneli kırıcı ve Fritsch pülverizatör kullanılarak 200 mesh'lik elek altına gecebilecek tane boyutuna kadar öğütülmüşlerdir. Kayaç pudraları asit atağı yöntemiyle çözeltiye alınarak Al, Fe, Mn, Mg, Ca, Na ve K gibi ana elementlerin analizleri, yüzde oksit bileşenleri cinsinden (Fe elementi toplam  $\text{Fe}_2\text{O}_3=\text{fFe}_2\text{O}_3$ ) olarak Perkin - Elmer 2380 Atomik Absorbsiyon Spektrofometresi ile; Si, Ti ve P gibi elementlerin analizleri ise yine yüzde oksit bileşeni cinsinden  $\text{Na}(\text{OH})$  eritişi yöntemiyle hazırlanan çözeltilerden itibaren Jena - Spekol 11 UV- VIS spektrofotometresi ile gerçekleştirilmişdir. Çizelge 1'de verilen bu analiz sonuçları değerlendirilirken, çizelge 2'de verilen CRPG standartları aynı aletsel ve labortuvar koşullarında analiz edilerek, tümkaçaya ana element analizlerinin kullanılabilirlik dereceleri de test edilmiştir. AAS analizlerinde Al elementi azot protoksisit - asetilen karışımı alevde, diğerleri ise asetilen hava karışımı alevde okunmuşlardır. Belirtilen tüm bu labortuvar çalışmaları Cumhuriyet Üniversitesi Jeoloji Mühendisliği Bölümü İnce Kesit, Kıarma - Öğütme- Eleme ve Kayaç Kimyası Laboratuvarlarında gerçekleştirilmiştir.

### **JEOLIJİK KONUM**

Çalışma alanının Kettin (1955, 1963)'e dayandırılan sadeleştirilmiş jeolojik haritasından (Şekil 3) görülebileceği gibi, Sorgun güneyinde yüzeylenen en yaşlı kayaçlar, Kırşehir bloğunun kitasal kabuk malzemesinin metamorfiteridir. Seymen (1981) tarafından Mesozoyik öncesi yaşlı Kaman grubu olarak adlandırılan bu metamorfiter; alttan üste doğru Kalkanlıdağ Formasyonu, Tamanlıdağ formasyonu ve Bozçalıdağ Formasyonundan oluşmaktadır. Sorgun güneyinde yüzeylenen metamorfiter, başlıca sillimanit - biyotit gnays, kalsilikatik gnays ve kalsilikatik mermer bileşiminde kayaçlardan oluştuğu için, Kalkanlıdağ formasyonuna karşılık geldiği ileri sürtilebilir. Yozgat Batoliti olarak tanımlanan granitoyid kütlesinin Sorgun güneyinde yüzeylenen kesimi, Kaman grubu metamorfiteri içinde intrüzif olarak gözlenmektedir (Şekil 3). Çalışma alanının doğu kesiminde Sarıhamzalı köyü yöresinde metamorfiterlere sokulum yapan granitoyid kütlesi, özellikle mermerlerle olan dokanağında tane boyunun irileşmesi şeklinde ortaya çıkan bir kontakt metamorfik etkiye de neden olmuştur. Kırşehir bloğundaki çeşitli granitoyid sokulumlarını inceleyen ara-

tircilerin öne sürdükleri jeolojik yaşlara bakıldığından, bunların Üst Kretase - Paleosen arasında değiştiği gözlenmektedir. Özellikle arazi gözlemlerine dayalı stratigrafik ilişkilerle öne sürtülen yaşlar Eosen Öncesi (Arikan, 1975; Tülümen, 1980), Kretase sonrası - Lütesiyen öncesi (Ketin, 1955; Tatar, 1977) ve Paleosen (Seymen, 1981) olarak değerlendirilirken; Ataman (1972) tarafından Cefalıdağ plütonunda Rb- Sr tümkayaç-mineral izokronu ile elde edilen yaşam Üst Kretase olduğu görülmektedir. Ancak, belirtilen izokronun tümkayaç yerine tümkayaç - mineral izokronu olmasından dolayı yorumu açık olabileceği Ataman (1972) tarafından de belirtilemektedir. Çalışma alanında ise, Sorgunun hemen güneyinde kömür tabakaları da içeren Eosen yaşı kayaçların Yozgat batoliti üzerinde uyumsuzlukla yer aldığı gözlenmektedir. Bu gözlem, Yozgat batolitinin Eosen'den yaşı olduğunu ortaya koymaktadır. Ayrıca, özellikle Ketin (1955, 1963) tarafından bu granitik kayaçların, Yozgat batusunda Üst Kretase yaşı kireçteşerini kontakt metamorfizmaya uğrattığı ve Lütesiyen yaşı sedimenter kayaçlarla uyumsuz olarak örtüldüğü belirtildiğinden Yozgat batolitinin yaşamın Paleosen olarak benimsenmesi uygun görülmüştür (Şekil 3). Sorgun güneyinde yüzeysel en genç birim ise Neojen yaşı sulu - karasal ortam çökelleridir.

### YOZGAT BATOLİTİ SORGUN GÜNEYİ KESİMINİN PETROGRAFİSİ

Bilindiği gibi, mafik - ultramafik olmayan magmatik derinlik kayaçların isimlendirilmesi kuvars, alkali feldispat ve plajiyoklaz gibi açık renkli bileşenlerin bağlı içeriklerine dayandırılan ve nokta sayma yöntemiyle elde edilen modal mineralojik analiz verileriyle gerçekleştirilmektedir. (Streckeisen, 1976). Ancak, son yıllarda Debon ve Le Fort (1982, 1988) tarafından ileri sürülen ve kayaç oluşturuğu açık renkli bileşenlerin ana elementleri olan Si, K, Na, Ca ve Al gibi elementlere dayandırılan kimyasal mineralojik isimlendirme yaygın olarak kullanılmaktır ve bu şekilde isimlendirmenin modal mineralojik isimlendirme ile uyumlu olduğu belirtilemektedir (Debon ve Le Fort, 1982). Yozgat batoliti Sorgun güneyi kesimindeki kayaçların ana element analizlerinden (Çizelge 1) elde edilen kimyasal parametrelerde göre yapılan isimlendirmesi Şekil 4'te görülmektedir. Bu sekilden kolayca görülebileceği gibi, Sorgun güneyi granitik kayaçları başlıca monzonit, Kuvars - monzonit ve adamellit bileşiminde iken iki adet kayaç örneği de kuvars - siyenit (damar konumuna sahip olduğu için kuvars - siyenit porfir) bileşimindedir. Bu kayaçların mineralojik - petrografik özellikleri şu şekilde özetlenebilir.

#### Monzonitler

El örneği düzeyinde orta - kaba taneli olan bu kayaçlardan bazıları mikroskop altında holokristalin - hipidiyomorf tanesel doku (AC-7 ve GH- 1) gösterirken ba-

zları da holokristalin - hipidiyomorf porfirik doku (SR-3 ve GH-5, YT- 10) göstermektedir. Açık renkli bileşenleri başlıca ortoklaz, plajiyoklaz ve kuvars minerallerinden oluşurken, koyu renkli bileşenleri ise hornblend, öjit (bazan egirin - öjit) ve az miktarda da biyotit minerallerinden oluşmaktadır. Tali bileşenler ise tipik olarak titanit, allanit, apatit ve opak minerallerden oluşmaktadır. Ortoklaz mineralleri genel olarak hipidiyomorf, levhaması - prizmatik biçimli, karlsbad ikizlenmeli ve çok az miktarda killeşmeye uğramış olarak görülmektedir. Porfirik doku gösteren kayaçda 0.3-0.4 mm eninde, 1.5 -2 cm uzunluğunda, özsekilli, çubugumsu - prizmatik bileşenler halinde görülmektedir. Plajiyoklazlar ise yarı özsekilli ve ender olarak özsekilli levhaması -prizmatik ve bazan çubugumsu - prizmatik bileşenler halinde olup, tipik olarak polisentetik ikizlenme göstermektedirler. Ender olarak serisitleşme ve bazan da agrega şeklinde epidotlaşmaya uğramışlardır. Bazı plajiyoklaz mineralleri polisentetik ikizlenmenin yanı sıra zonlu doku da göstermektedirler. Plajiyoklazların An içeriğlerinin Michel - Levy yöntemiyle (Erkan, 1978) An30-50 arasında değiştiği gözlenmiştir. Kuvars mineralleri ise tipik olarak özsekilsiz ve temiz yüzeyli olup, diğer bileşenlerin arasını doldurur durumda görülmektedirler. Koyu renkli minerallerden en yaygın olarak bulunanı yarı öz sekilli, levhaması - prizmatik ve bazan çubugumsu - prizmatik biçimli hornblend mineralleridir. Yeşilimsi kahverenkli ve belirgin pleokroizma gösteren bazı hornblendlerin çekirdeğinde, renksiz ve çok soluk yeşilimsi renkli öjit mineralleri de gözlenmektedir. Bu durum, önceden oluşan piroksen minerallerinin denge kristalizasyonu nedeniyle horblende dönüşmesi şeklinde yorumlanmaktadır. Piroksen mineralleri tipki horblendlere benzer şekil ve biçimlerde görülmektedir. Bazan çok soluk yeşilimsi renkleri ve pleokroizma göstermemeleri ile öjit olarak tanımlanırken, bazan da açık soluk yeşilimsi ve belirgin pleokroizma göstermeleri nedeniyle (YT -10 no'lu örnek) egirin - öjit olarak tanımlanmışlardır. Biyotitler ise genel olarak yarı özsekilli levhaması bileşenler halinde olup, kahverenkli ve belirgin pleokroizmaya sahip mineraller olarak görürlürler. AC-7 no'lu kayaç örneğinde biyotitlerin denge kristalizasyonu yoluyla horblendlerden itibaren gelişikleri görülmektedir. Tali bileşenler ise öz sekilli titanit ve allanit mineralleri çoğulukta olmak üzere apatit ve opak mineralleri de içermektedirler. Allanitler tipik olarak kahverenkli belirgin pleokroizma göstermelerinin yanı sıra bileşimsel farklılıktan kaynaklanan zonlu doku göstergeleri ile de kolayca tanımlanmaktadır. Tali bileşenlerden özsekilli apatit çubukları ve bazan titanitler, hornblend minerallerinin içinde kapanım olarak da görülmektedirler.

#### Kuvars - monzonitler

Çalışma alanında en yaygın kayaç türü olarak bulunan kuvars - monzonitler, tipki monzonitler gibi orta - kaba taneli, holokristalin - hipidiyomorf tanesel dokulu, bazan da porfirik dokulu kayaçlar olarak görülürler. YT-

**Çizelge 1.** Yozgat batoliti doğu kesiminin (Sorgun güneyi) tüm kayaç ana element analiz sonuçları ve çeşitli petrokimyasal parametreleri

**Table 1.** Total results of the wholerock majör element analysis from the Eastern part of the Yozgat batholith (South of Sorgun Town) and some of their pertochemical parameters.

Element	BB-1	BB-2	AC-1	AC-6	AC-7	SR-1	SR-2	SR-3	GH-1	GH-2
Oksitleri (%)										
SiO <sub>2</sub>	66.63	67.52	66.72	67.03	62.67	59.99	66.18	62.29	58.95	63.93
Al <sub>2</sub> O <sub>3</sub>	14.59	14.59	15.40	12.97	14.59	15.40	14.59	12.97	15.40	15.40
TiO <sub>2</sub>	0.56	0.41	0.60	0.75	0.56	0.65	0.26	0.50	0.85	0.59
tFe <sub>2</sub> O <sub>3</sub>	3.33	3.33	3.33	4.58	2.91	4.58	2.91	4.58	5.41	4.58
MnO	0.06	0.08	0.05	0.09	0.06	0.11	0.06	0.06	0.11	0.08
MgO	1.45	0.72	0.75	1.18	1.93	1.23	0.65	1.95	1.79	0.96
CaO	5.99	5.45	5.72	7.08	8.71	6.81	7.08	8.59	9.80	6.54
Na <sub>2</sub> O	2.99	2.60	2.60	2.60	3.16	2.86	2.65	3.30	2.95	2.77
K <sub>2</sub> O	4.87	4.87	5.07	5.37	4.78	4.87	5.47	5.58	5.17	5.17
P <sub>2</sub> O <sub>5</sub>	0.13	0.11	0.14	0.24	0.19	0.15	0.18	0.14	0.29	0.19
AK/LOI	0.25	0.28	0.19	0.17	0.86	3.14	0.18	0.25	0.25	0.21
Toplam	100.85	99.66	100.12	102.06	100.51	99.79	100.21	100.21	100.97	100.42
<b>CIPW Normları</b>										
qu	19.61	24.03	21.37	20.65	11.28	12.60	18.99	8.94	6.32	16.77
or	28.78	28.78	29.96	31.74	28.78	28.78	32.33	32.98	30.55	30.55
ab	25.30	22.00	22.00	22.00	26.74	24.20	22.42	27.92	24.96	23.44
an	12.01	13.76	15.38	7.86	11.24	14.80	11.76	4.10	13.51	14.32
wo	2.15	2.70	2.09	6.39	6.55	3.20	7.11	9.46	7.65	3.55
dy	7.79	3.87	4.03	6.34	10.37	6.61	3.49	10.48	9.62	5.16
he	3.33	3.33	3.33	4.58	2.91	4.58	2.91	4.58	5.41	4.58
il	0.13	0.16	0.10	0.20	0.13	0.23	0.13	0.13	0.23	0.16
ti	1.20	0.79	1.35	1.58	1.20	1.30	1.47	1.06	1.79	1.24
ap	0.31	0.26	0.33	0.57	0.45	0.36	0.43	0.33	0.69	0.45
Toplam	100.61	99.68	100.33	101.91	99.66	99.66	100.04	99.97	100.73	100.22
<b>DEBON AND LE FORT PARAMETRELERİ</b>										
Q	98.52	122.47	108.08	89.75	38.74	56.14	81.30	18.46	5.55	77.74
P	-99.90	-77.68	-78.25	-96.13	-153.89	-110.32	-95.62	-141.19	-160.18	-96.24
A	-127.31	-95.47	-93.46	-195.99	-229.80	-136.47	-167.95	-276.89	-252.38	-130.31
B	84.69	64.70	67.83	96.03	91.35	96.02	55.83	112.01	122.81	88.57
F	371.79	367.83	379.09	369.22	424.91	402.84	417.87	424.53	426.64	388.69
Mg/Mg+Fe	0.46	0.30	0.31	0.34	0.57	0.35	0.31	0.46	0.40	0.29
<b>CHAPPEL AND WHITE parametreleri</b>										
Al/(Na+K+Ca/2)	0.7	0.74	0.76	0.56	0.55	0.68	0.63	0.47	0.54	0.69
Normatif Plj bileşimi (NPC)	32.19	38.48	41.14	26.32	29.59	37.95	34.41	12.80	35.12	37.92
Element	GH-4	GH-5	DD-1	DD-2	DD-3	DD-4	DD-5	DD-6	DD-7	DD-8
Oksitleri (%)										
SiO <sub>2</sub>	62.42	59.72	64.00	63.97	68.18	65.05	68.95	69.73	68.46	63.55
Al <sub>2</sub> O <sub>3</sub>	15.40	15.40	14.59	16.22	14.59	14.59	13.78	13.78	14.59	15.40
TiO <sub>2</sub>	0.56	0.82	0.68	0.56	0.44	0.40	0.50	0.48	0.46	0.62
tFe <sub>2</sub> O <sub>3</sub>	4.58	5.41	4.16	3.75	3.33	2.91	3.33	3.33	3.75	3.75
MnO	0.09	0.09	0.08	0.06	0.06	0.06	0.06	0.06	0.05	0.06
MgO	1.07	1.63	1.50	0.86	0.88	0.70	0.96	0.83	0.75	0.78
CaO	7.08	9.26	7.62	3.81	5.17	5.45	4.50	4.63	4.36	5.45
Na <sub>2</sub> O	2.77	2.77	2.34	3.12	2.30	2.77	1.95	1.99	2.17	3.46
K <sub>2</sub> O	5.17	4.87	4.36	5.68	4.77	4.66	4.66	4.87	5.17	4.77
P <sub>2</sub> O <sub>5</sub>	0.21	0.38	0.25	0.21	0.14	0.16	0.13	0.12	0.11	0.21
AK/LOI	0.50	0.45	1.09	1.38	0.57	3.59	0.90	0.76	0.97	1.82

**Çizelge 1.** Devam

<b>Toplam</b>	99.85	100.80	100.67	99.62	100.43	100.35	100.12	100.58	100.84	99.87
<b>CIPW Normları</b>										
qu	14.54	9.87	20.10	16.10	26.56	21.51	30.01	30.40	27.22	15.78
or	30.55	28.78	25.77	33.57	28.19	27.54	27.54	28.78	30.55	28.19
ab	23.44	23.44	19.80	26.40	19.46	23.44	16.50	16.84	18.36	29.28
an	14.32	15.20	16.43	13.48	15.40	13.61	15.09	14.29	14.80	12.40
wo	4.37	6.06	3.06	1.30	0.82	2.67	0.10	0.31	0.18	2.49
dy	5.75	8.76	8.06	1.83	4.73	3.76	5.16	4.46	3.65	4.19
he	4.58	5.41	4.16	3.75	3.33	2.91	3.33	3.33	3.75	3.75
il	0.20	0.20	0.16	0.13	0.13	0.13	0.13	0.13	0.10	0.13
ti	1.12	1.76	1.46	1.20	0.91	0.81	1.06	1.01	1.00	1.35
ap	0.50	0.90	0.59	0.50	0.33	0.38	0.31	0.28	0.26	0.50
<b>Toplam</b>	99.37	100.37	99.59	98.25	99.87	96.77	99.23	99.83	99.87	98.06
<b>DEBON AND LE FORT PARAMETRELERİ</b>										
Q	62.94	28.42	96.36	88.29	141.26	107.79	162.37	164.16	148.14	74.82
P	-105.87	-151.11	-118.82	-48.02	-65.13	-87.63	-51.36	-43.38	-38.00	-107.56
A	-149.57	-220.94	-153.64	-38.99	-73.68	-96.50	-66.31	-62.43	-49.09	-105.21
B	90.92	118.47	97.83	75.31	69.05	58.82	71.78	68.31	71.33	74.08
F	401.14	408.11	360.81	391.40	344.69	388.39	320.85	322.53	335.53	406.10
Mg/Mg+Fe	0.32	0.37	0.42	0.31	0.34	0.32	0.36	0.33	0.28	0.29
<b>CHAPPEL AND WHITE parametreleri</b>										
Al/(Na+K+Ca/2)	0.66	0.57	0.65	0.89	0.79	0.74	0.80	0.8	0.8	0.74
Normatif Plj bileşimi (NPC)	37.92	39.34	45.35	33.80	44.18	36.73	47.77	45.90	44.63	29.75
<b>Element Oksitleri (%)</b>										
DD-12	DD-13	YT-2	YT-8	YT-9	YT-10	YT-11	YT-12	YT-13	YT-14	
SiO <sub>2</sub>	68.48	68.25	63.21	65.09	61.33	59.22	65.62	63.43	69.60	96.99
Al <sub>2</sub> O <sub>3</sub>	13.78	13.75	18.78	13.78	15.40	14.59	12.97	14.59	12.97	13.78
TiO <sub>2</sub>	0.53	0.60	0.62	0.54	0.72	0.82	0.69	0.60	0.44	0.69
tFe <sub>2</sub> O <sub>3</sub>	3.75	2.08	2.50	3.33	4.58	4.58	4.16	4.16	2.50	3.75
MnO	0.06	0.06	0.06	0.06	0.09	0.11	0.08	0.08	0.05	0.06
MgO	0.83	0.72	0.83	0.86	0.62	1.18	1.18	1.12	0.64	1.02
CaO	5.45	5.17	5.72	6.54	5.99	10.08	6.81	7.08	4.90	5.99
Na <sub>2</sub> O	2.08	2.42	2.99	3.08	3.38	2.86	2.86	2.69	2.95	2.82
K <sub>2</sub> O	4.77	5.17	5.68	4.97	5.37	5.17	4.87	4.66	4.77	4.97
P <sub>2</sub> O <sub>5</sub>	0.12	0.08	0.11	0.16	0.11	0.19	0.25	0.25	0.10	0.19
AK/LOI	0.56	0.45	0.36	0.36	0.99	0.19	0.41	0.22	0.39	0.11
<b>Toplam</b>	100.41	98.78	100.86	98.77	98.58	98.99	99.90	98.88	99.31	99.37
<b>CIPW Normları</b>										
qu	28.15	25.41	12.32	18.12	11.55	7.98	19.88	18.02	26.38	20.68
or	28.19	30.55	33.57	29.37	31.74	30.55	28.78	27.54	28.19	29.37
ab	17.60	20.48	25.30	26.06	28.60	24.20	24.20	22.76	24.96	23.86
an	14.18	11.47	21.05	9.10	10.99	11.70	8.17	13.97	8.06	10.26
wo	1.98	2.86	0.37	6.15	4.84	11.06	5.74	4.18	4.10	3.76
dy	4.46	3.87	3.66	4.62	3.33	6.34	6.34	6.02	3.44	5.48
he	3.75	2.08	2.50	3.33	4.58	4.58	4.16	4.16	2.50	3.75
il	0.13	0.13	0.13	0.13	0.20	0.23	0.16	0.16	0.10	0.13
ti	1.13	1.30	1.35	1.15	1.51	1.71	1.48	1.26	0.95	1.52
ap	0.28	0.19	0.26	0.38	0.26	0.45	0.59	0.59	0.24	0.45
<b>Toplam</b>	99.86	98.34	100.51	98.42	98.58	98.81	99.50	98.67	98.92	99.27
<b>DEBON AND LE FORT PARAMETRELERİ</b>										
Q	146.69	129.28	65.57	78.42	45.92	6.62	87.37	81.95	131.37	98.34
P	-63.03	-60.51	-77.89	-110.49	-101.87	-162.26	-110.32	-114.11	-81.29	-92.29

**Çizelge 1.** Devam

A	-92.46	-101.93	-52.69	-167.84	-134.62	-275.35	-184.14	-125.05	-116.80	-139.84
B	74.19	51.43	59.67	69.80	81.76	96.90	90.02	87.40	52.70	80.91
F	334.12	374.29	429.76	406.78	427.32	541.48	377.60	385.65	370.93	375.75
Mg/Mg+Fe	0.30	0.41	0.40	0.34	0.21	0.34	0.36	0.35	0.34	0.35

**CHAPPEL AND WHITE parametreleri**

Al/(Na+K+Ca/2)	0.74	0.72	0.87	0.61	0.69	0.50	0.58	0.65	0.68	0.65
----------------	------	------	------	------	------	------	------	------	------	------

Normatif Plj bileşimi (NPC)	44.62	35.90	45.42	25.88	27.76	32.59	25.24	38.03	24.41	30.07
--------------------------------	-------	-------	-------	-------	-------	-------	-------	-------	-------	-------

**Element**

Oksitleri (%)	YT-15	YT-17	YT-18	YT-19
SiO <sub>2</sub>	70.88	60.73	61.18	65.77
Al <sub>2</sub> O <sub>3</sub>	12.97	14.59	13.78	13.78
TiO <sub>2</sub>	0.62	0.65	0.78	0.50
tFe <sub>2</sub> O <sub>3</sub>	2.50	5.83	5.83	2.91
MnO	0.06	0.09	0.11	0.06
MgO	0.67	1.21	2.22	1.10
CaO	4.63	7.90	8.98	7.08
Na <sub>2</sub> O	2.60	2.43	2.38	2.82
K <sub>2</sub> O	4.77	5.37	3.75	4.87
P <sub>2</sub> O <sub>5</sub>	0.08	0.34	0.25	0.30
AK/LOI	0.14	0.14	0.37	0.27
Toplam	99.92	99.28	99.63	99.46

**CIPW Normları**

qu	29.57	13.43	16.98	19.64
or	28.19	31.74	22.16	28.78
ab	22.00	20.56	20.14	23.86
an	9.63	13.04	15.84	10.56
wo	2.62	5.71	3.95	5.64
dy	3.60	6.50	11.93	5.91
he	2.50	5.83	5.83	2.91
il	0.13	0.20	0.23	0.13
ti	1.35	1.34	1.62	1.06
ap	0.19	0.81	0.59	0.71
Toplam	99.79	99.16	99.27	99.21

**DEBON AND LE FORT PARAMETRELERİ**

Q	152.98	50.54	76.21	86.28
P	-65.18	-105.27	-157.31	-113.85
A	-95.88	-187.97	206.37	-176.59
B	55.70	111.18	137.87	70.00
F	346.32	393.28	340.92	398.72
Mg/Mg+Fe	0.35	0.29	0.43	0.43

**CHAPPEL AND WHITE parametreleri**

Al/(Na+K+Ca/2)	0.72	0.60	0.56	0.60
----------------	------	------	------	------

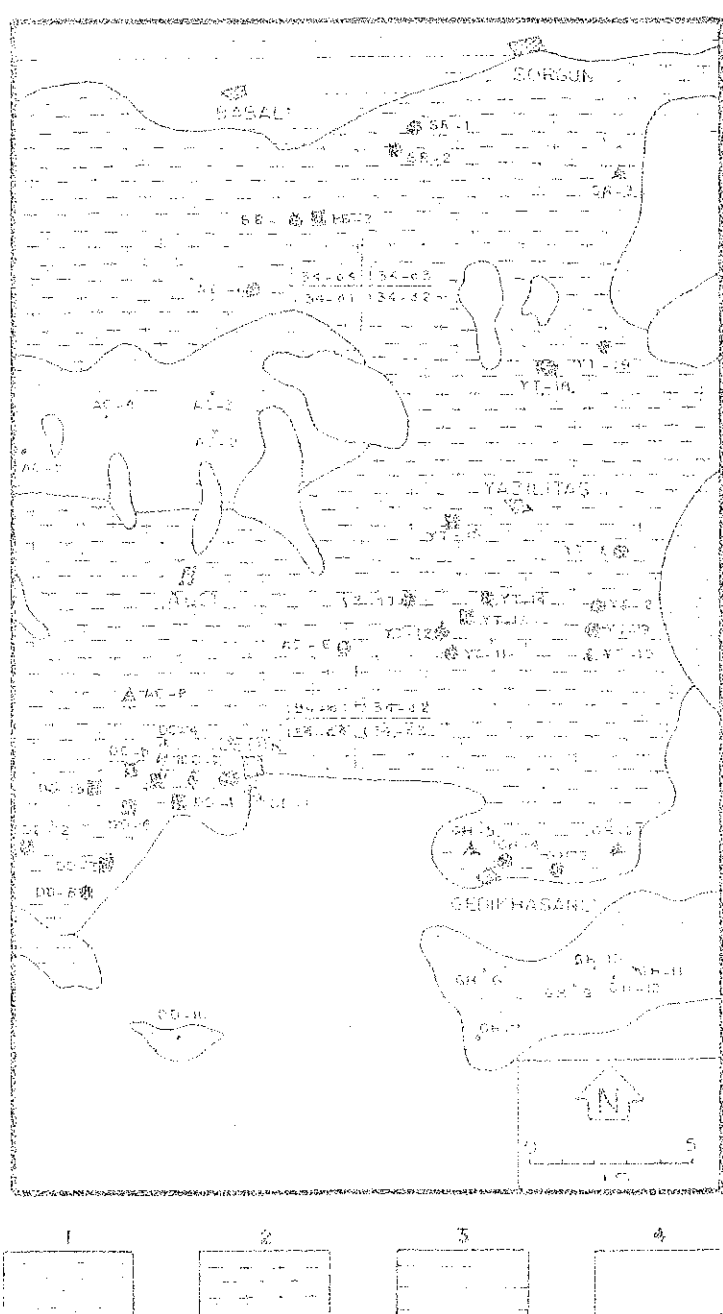
Normatif Plj bileşimi (NPC)	30.45	38.81	44.02	30.68
--------------------------------	-------	-------	-------	-------

**Açıklama / Explanation**

tFe<sub>2</sub>O<sub>3</sub>, Fe<sub>2</sub>O<sub>3</sub> cinsinden toplam demiri gösterir/ tFe<sub>2</sub>O<sub>3</sub>, represents total iron as ferric oxide

AK, ateşe kayıp/ LOI, loss on ignition

NPC represents the normative plagioklase composition



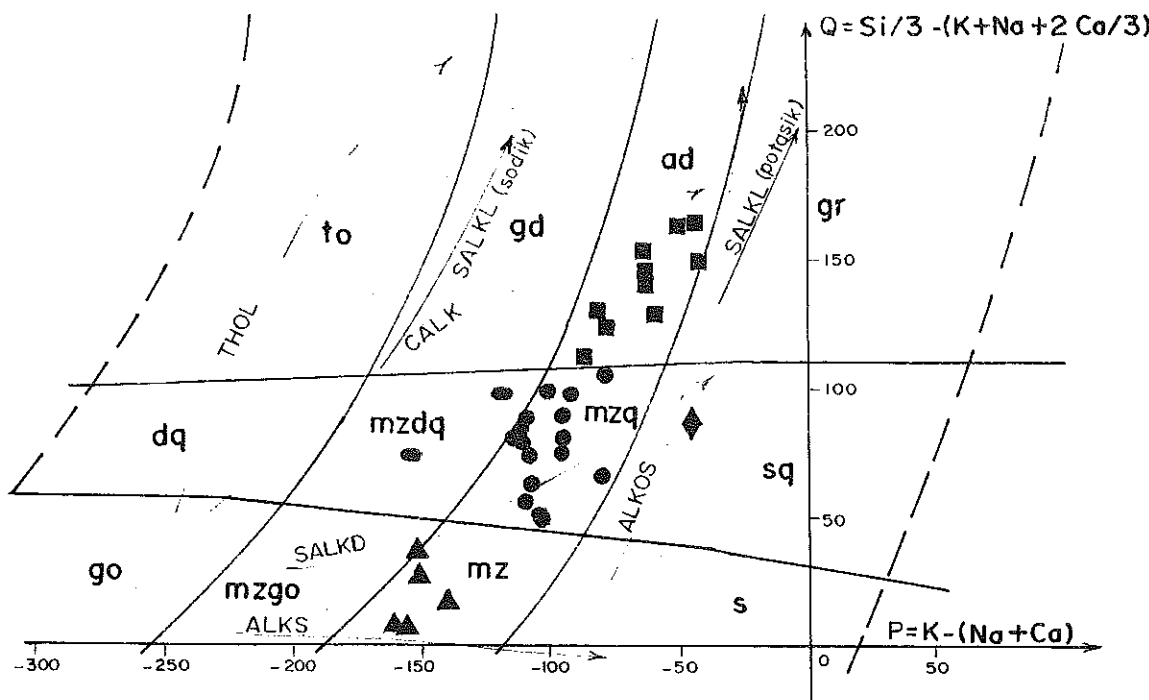
**Şekil 3.** Yozgat batoliti doğu kesiminin (Sorgun güneyi), Sadeleştirilmiş jeoloji haritası (Ketin 1955 ve 1963'e dayandırılmıştır) Granitoид örneklerinden sadece kimyasal analizi yapılanlar gösterilmiştir. monzonit; Kuvars- monzodiyorit; Kuvars- Monzonit; Adamellit; Kuvars- siyenit porfir  
 1. Mesozoyik öncesi metamorfitler (Kalkanlıdağ formasyonu ?),  
 2. Yozgat batoliti (Paleosen), 3. Eosen örtisi, 4. Neojen

**Figure 3.** Simplified geological map of the Eastern part of the Yozgat batholith (South of the Sorgun Town). It is based mainly on ketin (1955, 1963). Only chemical analysed granitic rock samples are shown.  $\Delta$  monzonite;  quartz - monzodiorite;

- (● quartz - monzonite; ■ Adamellite; ♦ (quartz- syenite porphyry).  
 1. Pre - Mesozoic metamorphites (Kalkanlıdağ formation ?),  
 2. Paleocene Yozgat batholith, 3. Eocene cover, 4. Neogene

91 no'lu kayaç örneğinde, 0.5 cm eninde, 2.5 - 3 cm uzunluğunda K-feldispat fenokristalleri tipik olarak akma dokusu meydana getirmiştirlerdir. Açık renkli bileşenleri monzonitlere benzer şekilde başlıca ortoklaz, plajiyoklaz ve kuvarstan oluşan bu kayaçların koyu renkli bileşenleri ise yine monzonitlere benzer şekilde hornblend ve öjit (bazan egirinöjit) mineralerinden oluşurken, sadece YT-9 no'lu örnekte hornblend ve hornblendlerden itibaren gelişmiş biyotit mineraleri görülmektedir. Tali bileşenler ise titanit, allanit apatit ve opak minerallerden oluşmaktadır. Ortoklaz mineralerinin tüm özellikleri monzonitlerdekine benzemekle birlikte, zaman zaman grafik doku özelliği gösteren ortoklazlara da rastlanmaktadır. Plajiyoklaz mineraleri ise, tipik olarak polisentetik ikizlenme ve zaman zaman polisentetik ikizlenmenin yanı sıra zonlu doku da göstermektedir. Optik mineralojik yöntemlerle (Erkan, 1978) belirlenen An içeriği ise An<sub>30-40</sub> arasında değişmektedir. Zonlu doku gösteren bazı plajiyoklazların çekirdek kısımlarında epidot agregalarına dönüşme gözlenmektedir ve bu durum çekirdeğin An bakımından daha zengin olduğunu da dolaylı olarak göstermektedir. Diğer bileşenlerin arasının dolduran özçekilsiz kuvars mineraleri, yukarıda da belirtildiği

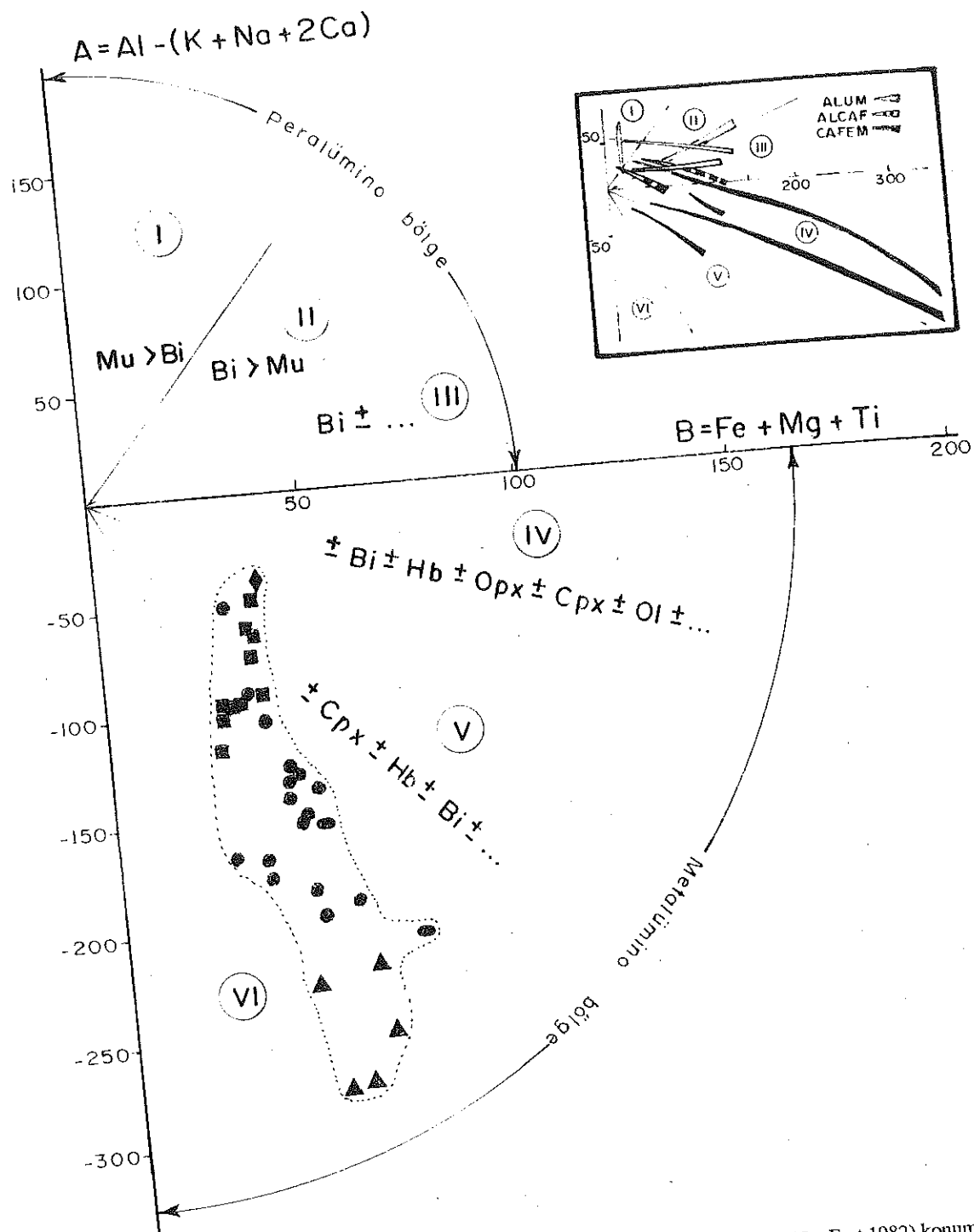
gibi, zaman zaman grafik doku oluşturacak şekilde ortoklaz mineraleri içinde kurtuklar halinde de görülmektedir. Koyu renkli bileşenler içinde en bol olarak hornblend genel olarak yarı özçekilli, levhamsı - prizmatik ve çubugumsu - prizmatik biçimli bileşenler halindedir. Yeşilimsi kahverenkli ve bazan mavimsi yeşil renkli, belirgin pleokroizma gösteren hornblendler, bazı kayaç örneklerinde öjit bileşimli, açık yeşilimsi ve pleokroizma göstermeyen piroksenlerin etrafını kuşatır şekilde görülmektedir. Monzonitlerde olduğu gibi, açık yeşilimsi ve belirgin pleokroizma gösteren egirinöjit bileşimli piroksen mineraleri bazı kayaç örneklerinin yaygın piroksen türünü oluşturmaktadır. Sadece bir kayaç örneğinde (YT-9) gözlenen ve yarı özçekilli, levhamsı biçimli, kahverenkli biyotit mineraleri tipik olarak hornblendlerden itibaren gelişmiş olarak gözlenmektedir. Kuvars-monzonitlerde bol miktarda bulunan öz çekilli titanit ve apatit mineraleri ise çoğunlukla hornblend türü koyu renkli mineralerin içinde kapanmış olarak veya hornblendlerin hemen yanında zenginleşmiş olarak bulunmaktadırlar. Allanit mineraleri ise kahverengi ve belirgin pleokroizma gösteren, optik engebeleri yüksek, öz çekilli bileşenler halinde görülmektedirler.



**Şekil 4.** Granitoid örneklerinin Debon and Le Fort (1982) adlandırma diyagramındaki konumları: to, tonalit; gd, granodiyorit; ad, adamellit; gr, granit; dq, kuvars-diyorit, mzdq, kuvars-monzodiyorit; mzq, kuvars-monzonit; sq, kuvars-syenit; go, gabro (diyorit, anortozit), mzgo, monzogabbro (monzodiorite); mz, monzonit; s, syenite. THOL, toleyitik; CALK, kalkalkalin; SALKL, açık renkli subalkalini; SALKD, koyu renkli subalkalini; ALKS, alkalilerce aşırı doygun

**Figure 4.** The positions of the granitoid rock samples in the nomenclature diagram of Debon and Le Fort (1982) to, tonalite; gd, granodiorite; ad, adamellite; gr, granite; dq, quartz-diorite, mzdq, kuartz-monzodiorite; mzq, kuartz-monzonite; sq, kuarts-syenite; go, gabbro (diorite, anortozite), mzgo, monzogabbro (monzodiorite); mz, monzonite; s, syenite. THOL, tholeiitic; CALK, calc-alkaline; SALK, light coloured subalkaline; SALKD, dark coloured subalkaline; ALKS, alkaline saturated; ALKOS, alkaline oversaturated.

## KIRŞEHİR BLOĞUNDAKİ YOZGAT BATOLİTİ...



Şekil 5. Granitoid örneklerinin A-B Karakteristik mineraller diyagramındaki (Debon and Le Fort 1982) konumları.  
Figure 5. The position of the granitoid rock samples in the A-B characteristic minerals diagram of Debon and Le Fort (1982).

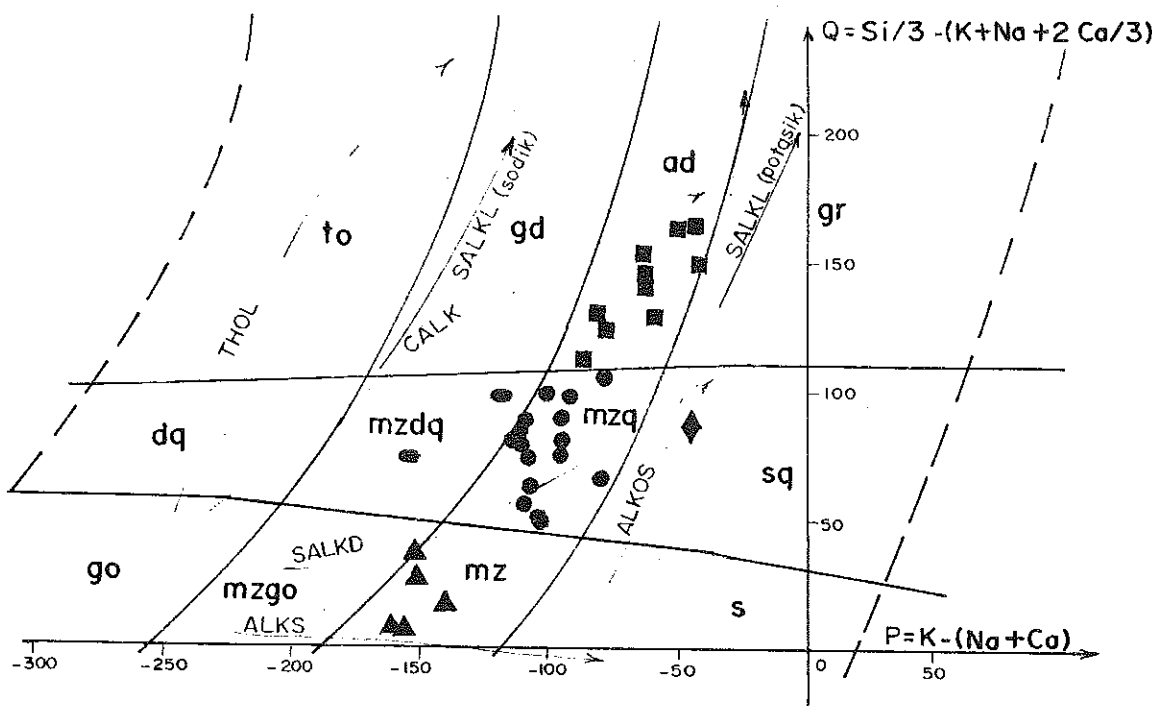
**Ademellitler :**

Daha çok çalışma alanının güneydoğusunda Dedik köyü yöresinde (Şekil 3) yüzeylenen ademellitler, diğer kayaç örnekleri gibi orta - kaba taneli, holokristalin - hidriyomorf tanesel doku veya porfirik doku göstermek-

tedirler. Porfirik doku gösteren örneklerin bu özellikleri, iyi K- Feldispat fenokristalleri ile belirginleşmektedir. Açık renkli bileşenleri kuvars, ortoklaz ve plajiyokla; olan ademellitlerin koyu renkli bileşenleri ise monzonî ve kuvars - monzonitlerden farklı olarak biyotit ve horn

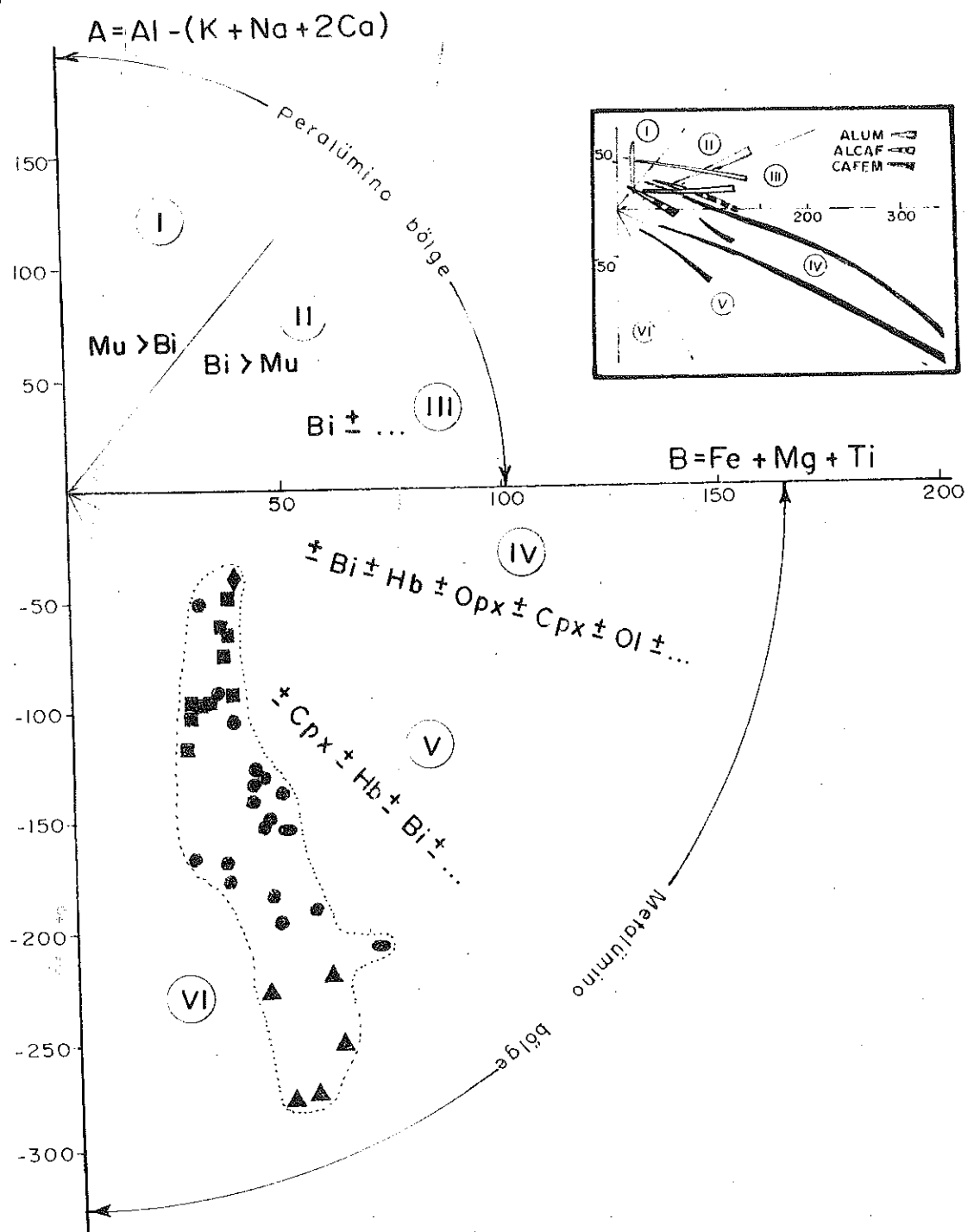
91 no'lulu kayaçörneğinde, 0,5 cm eninde, 2,5 - 3 cm uzunlığında K - feldispat fenokristalleri tipik olarak akma dokusu meydana getirmiştirlerdir. Açık renkli bileşenleri monzonitlere benzer şekilde başlıca ortoklaz, plajiyoklaz ve kuvarstan oluşan bu kayaçların koyu renkli bileşenleri ise yine monzonitlere benzer şekilde hornblend ve öjit (bazan egirinöjit) minerallerinden oluşurken, sadece YT- 9 no'lulu örnekte hornblend ve hornblendlerden itibaren gelişmiş biyotit mineraleri görülmektedir. Tali bileşenler ise titanit, allanit apatit ve opak minerallerden oluşmaktadır. Ortoklaz minerallerinin tüm özellikleri monzonitlerdekine benzemekle birlikte, zaman zaman grafik doku özelliği gösteren ortoklazlara da rastlanmaktadır. Plajiyoklaz mineralleri ise, tipik olarak polisentetik ikizlenme ve zaman zaman polisentetik ikizlenmenin yanı sıra zonlu doku da göstermektedir. Optik mineralojik yöntemlerle (Erkan, 1978) belirlenen An içeriği ise  $An_{30-40}$  arasında değişmektedir. Zonlu doku gösteren bazı plajiyoklazların çekirdekkisimlarında epidot agregalarına dönüşme gözlenmektedir ve bu durum çekirdeğin An bakımından daha zengin olduğunu da dolaylı olarak göstermektedir. Diğer bileşenlerin arasının dolduran özsekilsiz kuvars mineralleri, yukarıda da belirtildiği

gibi, zaman zaman grafik doku oluşturacak şekilde ortoklaz mineralleri içinde kurtçuklar halinde de görülmektedir. Koyu renkli bileşenler içinde en bol olarak hornblend genel olarak yarı özsekilli, levhamı - prizmatik ve çubugunu - prizmatik biçimli bileşenler halindedir. Yeşilimsi kahverenkli ve bazan mavimsi yeşil renkli, belirgin pleokroizma gösteren hornblendler, bazı kayaç örneklerinde öjit bileşimli, açık yeşilimsi ve pleokroizma göstermeyen piroksenlerin etrafını kuşatır şekilde görülmektedir. Monzonitlerde olduğu gibi, açık yeşilimsi ve belirgin pleokroizma gösteren egirinöjit bileşimli piroksen mineralleri bazı kayaç örneklerinin yaygın piroksen türünü oluşturmaktadır. Sadece bir kayaçörneğinde (YT-9) gözlenen ve yarı özsekilli, levhamı biçimli, kahverenkli biyotit mineralleri tipik olarak hornblendlerden itibaren gelişmiş olarak gözlenmektedir. Kuvars-monzonitlerde bol miktarda bulunan öz sekilli titanit ve apatit mineralleri ise çoğunlukla hornblend türü koyu renkli minerallerin içinde kapanım olarak veya hornblendlerin hemen yanında zenginleşmiş olarak bulunmaktadır. Allanit minerelleri ise kahverengi ve belirgin pleokroizma gösteren, optik engebeleri yüksek, öz sekilli bileşenler halinde görülmektedirler.



**Şekil 4.** Granitoid örneklerinin Debon and Le Fort (1982) adlandırma diyagramındaki konumları: to, tonalit; gd, granodiyorit; ad, adamellit; gr, granit; dq, kuvars -diorit, mzdzq, kuvars -monzodiorite; mzq, kuartz -monzonit; sq, kuvars- siyenit; go, gabro (diorit, anortozite), mzgo, monzogabbro (monzodiorite); mz, monzonit; s, syenite. THOL, toleyitik; CALK, kalkalkalin; SALK, açık renkli subalkalin; SALKD, koyu renkli subalkalin; ALKS, alkalilerce doygun; ALKOS, alkalilerce aşırı doygun

**Figure 4.** The positions of the granitoid rock samples in the nomenclature diagram of Debon and Le Fort (1982) to, tonalite; gd, granodiorite; ad, adamellite; gr, granite; dq, quartz -diorite, mzdzq, kuartz -monzodiorite; mzq, kuartz -monzonite; sq, kuartz- syenite; go, gabbro (diorite, anortozite), mzgo, monzogabbro (monzodiorite); mz, monzonite; s, syenite. THOL, tholeiitic; CALK, calc-alkaline; SALK, light coloured subalkaline; SALKD, dark coloured subalkaline; ALKS, alkaline saturated; ALKOS, alkaline oversaturated.



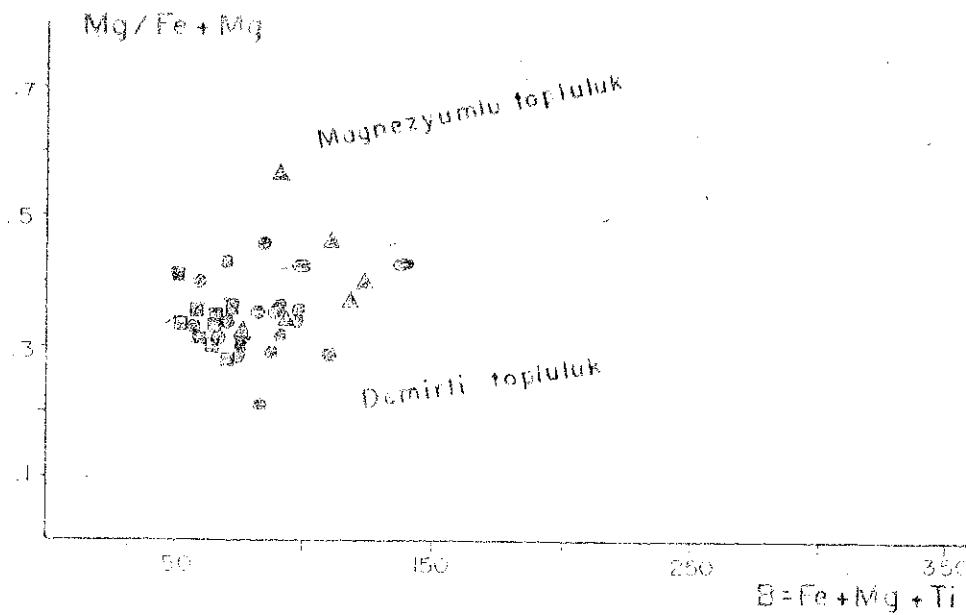
**Şekil 5.** Granitoid örneklerinin A-B Karakteristik mineraller diyagramındaki (Debon and Le Fort 1982) konumları.

Figure 5. The position of the granitoid rock samples in the A-B characteristic minerals diagram of Debon and Le Fort (1982).

#### Ademellitler :

Daha çok çalışma alanının güneydoğusunda Dedik köyү yoresinde (Şekil 3) yüzeylenen adamellitler, diğer kayaç örnekleri gibi orta - kaba taneli, holokristalin - hidriyomorf tanesel doku veya porfirik doku göstermek-

tedirler. Porfirik doku gösteren örneklerin bu özellikleri, iri K- Feldispat fenokristalleri ile belirginleşmektektir. Açık renkli bileşenleri kuvars, ortoklaz ve plajiyoklaz olan adamellitlerin koyu renkli bileşenleri ise monzonit ve kuvars - monzonitlerden farklı olarak biyotit ve hom-



**Şekil 6.** Granitoid örneklerinin Mg/Fe+mg - B diyagramındaki (Debon and Le Fort 1988) konumları

**Figure 6.** The positions of the granitoid rock samples in the Mg/Fe+mg - B diagram of Debon and Le Fort (1988).

blend mineralerinden oluşmaktadır ve kesinlikle piroksen mineraleri içermemektedir. Geç evre alterasyon izleri gösteren DD-4 no'lu kayaç örneğinde ise horblend gözlenmemekte, koyu renkli mineral topluluğu biyotit ve muskovit mineralerinden oluşmaktadır. Özçekilsiz ve gelişigüzel biçimlere sahip kuvarslar, bazan grafik doku oluşturacak şekilde ortoklaz içinde kurtuçklar halinde de gözlenmektedir. Ortoklaz mineralerleri, tipki diğer kayaçlarda olduğu gibi, yarı özçekilli levhamı ve levhamı prizmatik biçimli bileşenler halindedir ve ender olarak killeşme göstermektedirler. Bazı ortoklaz mineralerinin içinde küçük biyotit pulcukları da bulunmaktadır. Optik mineralojik yöntemlerle An içeriği saptanamayan plajiyoklaz mineralerini tipik olarak polisentetik ikizlenme ve bazan da polisentetik ikizlenmenin yanı sıra zonlu doku göstermektedirler. Plajiyoklaz mineralerinde nadir olarak gözlenen bozunma ürünlerini ise daha çok serisitleşme ve bazan da killeşme olarak görülmektedir. Koyu renkli mineralerden en çok bulunanı kırmızı kahverenkli, yarı özçekilli levhamı bileşenler halindeki biyotit mineraleridir. Bazı biyotitler yeşilimsi renkli klorit mineralerine dönüşmüştür. Bu tür kloritleşmeye uğrayan biyotitlerde aynı zamanda, dilinim düzlemleri boyunca opak mineral oluşumları da gözlenmektedir. Genel olarak bağımsız levhalar halinde gözlenen biyotitler, bazan horblendlerin içinde veya çevresinde onları manto gibi kuşatan bileşenler halinde de görülmektedirler. Bu şekilde görülen biyotitler, hornblendlerin denge kristalizasyonu sonucu biyotite dönüşmeleri şeklinde değerlendirilmektedir. Bazı biyotitler, tipik olarak, çevresinde pleokroik hale gelişmiş özçekilli zirkon kapanımlarını yanı sıra, özçekilli apatit kapanımları da içermektedirler. Hornblend mineralerleri ise biyotitlere oranla daha az bulun-

makta ve diğer kayaçlarda olduğu gibi yarı özçekilli, levhamı -prizmatik veya çubugumsu prizmatik bileşenler halinde görülmektedirler. Yeşilimsi kahverenkli ve bazan yeşilimsi - mavi renkli hornblendler zaman zaman biyotitlere dönüştürülmüş kesimler de içermektedirler. Adamallitlerin tali bileşenleri ise titanit, allanit, apatit, zirkon ve opak mineralerden oluşmaktadır. Bazı apatit ve zirkonlar, biyotitler içinde kapanım olarak gözlenirken, bazı titanit ve apatitler de hornblendler içinde özçekilli kapanımlar olarak görülmektedirler.

#### Kuvars - Monzodiyoritler

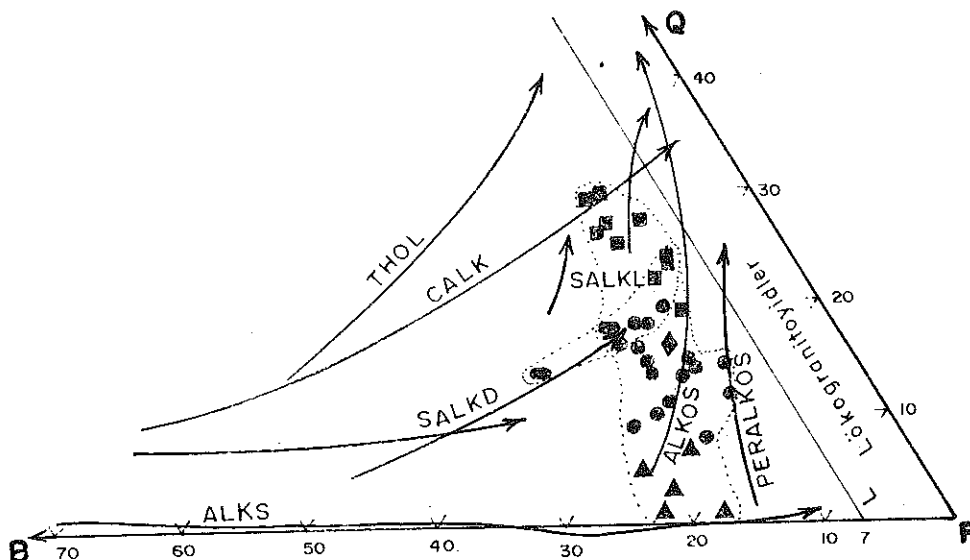
Çalışma alanında sadece DD -1 ve YT -18 no'lu kayaç örnekleriyle (Şekil 3) temsil edilen kuvars - monzodiyoritler, orta taneli olup, holokristalin - hipidiyomorf tanesel doku gösterirler. Açık renkli bileşenleri plajiyoklaz, ortoklaz ve kuvars olan bu kayaçların koyu renkli bileşenleri ise hornblend ve biyotitlerden oluşmaktadır. Tali bileşenler ise titanit, allanit, zirkon apatit ve opak mineralerleri içermektedir. Plajiyoklaz mineralerini yarı özçekilli, çubugumsu - prizmatik biçimli bileşenler halindedir ve Michel - Levy yöntemine göre (Erkan, 1978) An içerikleri An<sub>40-50</sub> arasında değişmektedir. Diğer kayaç örneklerinde olduğu gibi, polisentetik ikizlenmenin yanı sıra zonlu doku da gösteren plajiyoklazlarda nadir gözlenen bozunma ürünlerini epidotlaşma ve serisitleşme şeklinde gelişmiştir. Ortoklaz mineralerleri ise az miktarda görülmekte ve tipik olarak karlsbad ikizli, bazan killeşmeye uğramış yarı özçekilli levhamı - prizmatik bileşenler halinde görülmektedir. Hornblend mineralerleri yeşilimsi kahverenkli olup, yer yer iç kesimlerinde biyotitleşmiş pulcuklar içermektedir. Ayrıca tali bileşenlerden

apatit ve titanit gibi bazı mineralleri de kapanım olarak içermektedirler. Kahverenkli biyotit mineralleri ise genel olarak, hornblendlerden bağımsız iri levhalar olarak gözlenmekle birlikte, bazan çok ender de olsa hornblendlerin içinde küçük pulcuqlar halinde de görülmektedirler. Çevresinde pleokroik halelerin geliştiği özçekilli zirkon kapanımlarının yanısına özçekilli apatit kristallerini de kapanım olarak içermektedirler. Biyotitlerin bazları özellikle DD-1 no'lu kayaç örnekindekiilerin hemen hemen büyük bir kısmı, yeşil renkli klorit mineralerine dönüşmüştür. Kloriteşmeye uğrayan bu tür biyotitlerde aynı zamanda, dilinin düzlemlerine paralel gelişmiş opaklaşma da gözlenmektedir. Tali minerallerden bazı titanyum ve allanitler oldukça özçekilli bileşenler halinde de görülmektedirler. Allanit mineralleri yer yer, bileşimsel farklılıktan kaynaklanan ve özellikle tek nikolde son derece belirgin olan zonlu doku içermektedirler.

### Kuvars Siyenit Porfir

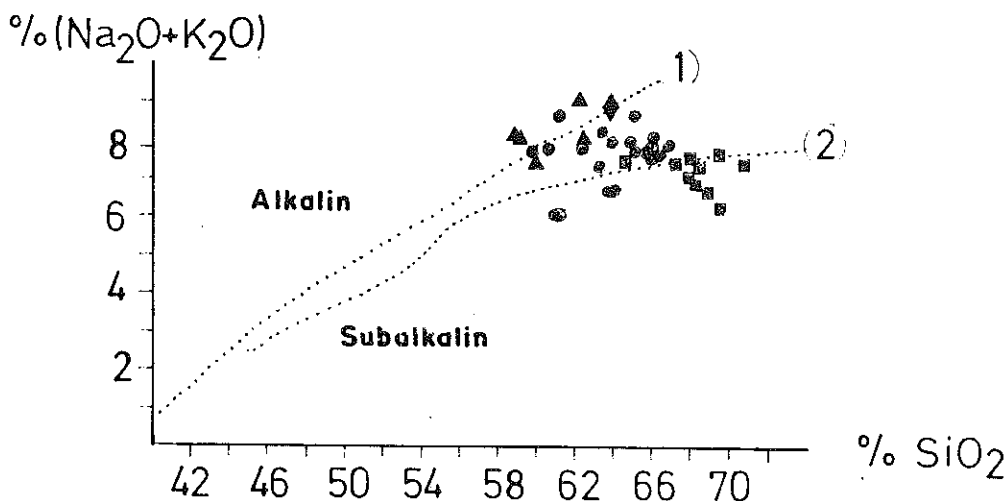
Çalışma alanının güneydoğusunda Dedik köyünün yaklaşık 2 km batısında, adamellit bileşimli kayaçların içerisinde yerleşmiş yaklaşık 50 m kalınlığında ve 1 km uzunlığında, N 65 E/dik konumlu bir damar kayacı şeklinde yüzeylenen ve el örneği düzeyinde siyenit porfir olarak tanımlanan kayaçlardan alınan DD-2 no'lu kayaç örneği, kimyasal analizlere dayalı parametrelerle göre kuvars siyenit olarak tanımlanmıştır (Şekil 4). Diğer tarafından, arazide damar şeklinde bir jeolojik konuma sahip olmasından dolayı da kuvars siyenit porfir olarak isim-

lendirilmiştir. Mikroskop altında hołokristalin - porfirik doku gösteren bu örnek, başlıca kuvars ve feldispatlardan oluşan bir hamur içinde dağınık vaziyette bulunan iri (0.3 -0.4 mm eninde 2 cm uzunluğunda) ortoklaz fenokristallerinin yanı sıra klorite dönüşmuş biyotit pulları ile epidota dönüşmiş prizmatik biçimli bileşenlerden oluşmaktadır. Hamurda kuvars bulunması, bu kayacın kimyasal parametrelerle göre kuvars - siyenit porfir olarak tanımlanmasını desteklemektedir. Ortoklaz fenokristalleri genellikle özçekilli, çubugumsu prizmatik biçimli ve karlsbard ikizlenmesi gösteren bileşenler halindedir. Ortoklaz minerallerinde killeşme olarak gözlenen bozunma oldukça yaygındır. Fenokristal olarak bulunan diğer bir bileşen ise yarı özçekili ve yeşil renkli klorit levhalarına ve opak mineral agregalarına dönüşmüş biyotitlerdir. Yer yer çubugumsu prizmatik, yer yer de levhamsı prizmatik biçimli ve tipik olarak sarımsı - yeşil renkli ve belirgin pleokroizma gösteren pistazit bileşimli epidot minerallerinin ise bazan kalıntı mineraller nedeniyle plajiyoklazlardan itibaren dönüştüğü gözlenirken, bazan tamamen epidotlaşmadan dolayı ne tür bileşenlerden itibaren geliştiği bilinmemektedir. Polisentetik ikiz lamellerinin varlığı ile tanınan plajiyoklaz fenokristalleri ise killeşme, serisitleşme ve epidotlaşmaya uğramışlardır. Tali bileşenler ise öz çekilli apatit çubukları ile titanitlerden meydana gelmektedir. Tüm bu özelliklerden dolayı, belirtilen bu kuvars - siyenit porfir damarının geç evre alterasyonuna uğradığı düşünülmektedir. Zaten tüm kayaç ana element analiz sonuçlarında ateşe kayip değerinin yüksek çıkması (% 1.38) bunu bir anlamda desteklemektedir.



**Şekil 7.** Granitoid örneklerinin QBF üçgen diyagramındaki (Debon and Le Fort 1982) konumları. Q, B ve F parametreleri, sırasıyla, kuvars, mafik mineraller ve feldispat + muskovit minerallerini karakterize ederler. PERALKOS : alkalilerce çok aşırı doygun, diğer trendlerin açıklamaları için Şekil 4' e bakınız

**Figure 7.** The position of the granitoid rock samples in the QBF triangular diagram (Debon and Le Fort, 1988). The Q, B and F parameters represent, respectively, quartz, mafic minerals and feldspar+muscovite. PERALKOS: peralkaline over-rated, see Fig. 4 for explanation of other trends.



**Şekil 8.** Granitoid örneklerinin TAS (toplam alkaliler karşı  $\text{SiO}_2$ ) diyagramındaki konumları. 1 no'lu sınır değeri Irvine and Baragar (1971), 2 nolu sınır değeri ise Kuno (1968) tarafından tanımlanmıştır.

**Figure 8.** The positions of the granitoid rock samples in the TAS (total alkalies vs silica) diagram. Dividing lines 1and 2 have been determined by Irvine and Baragar (1971) and Kuno (1968), respectively.

#### Çevre Kayaçların Petrografisi Mesozoyik Öncesi Metamorfik Kayaçlar

Çalışma alanının güneyindeki Gedikhasanlı köyünün hemen güneyinde yüzeylenen ve Kaman grubu metamorfitlerinden Kalkanlıdağ Formasyonu (Seymen, 1981) ile denetirilebileceği düşünülen metamorfik kayaçların (Şekil 3), fibro - lepidblastik dokulu sillimanit - mika gnays ile nemato- granoblastik dokulu kalsilikatik gnays ve kalsilikatik mermer bileşiminde oldukları görülmüştür. Sillimanit - mika gnayslarda tipik olarak lıfsı saç demeti şeklinde görülen sillimanit mineralleri biyotitçe zengin zonlar içinde biyotitlerden itibaren gelişmiş olarak gözlenmektedir. Biyotiti mineralleri genel olarak küçük levhacıklar halinde bulunmaktadır. Açık renkli bileşenler ise başlıca K- feldispat ve kuvars olmak üzere az miktarda da plajiyoklaz içermektedir. Kalsilikatik gnayslar ise karakteristik olarak diyopsit namatoblastlarının yanısıra, kalsit ve skapolit mineralleri de içermektedir. Kalsilikatik mermer olarak tanımlanan kayaçlarda ise kalsit, diyopsit ve skapolit minerallerinden meydana gelen mineralojik bileşim içerisinde kalsit mineralleri oldukça fazla miktarda bulunmaktadır.

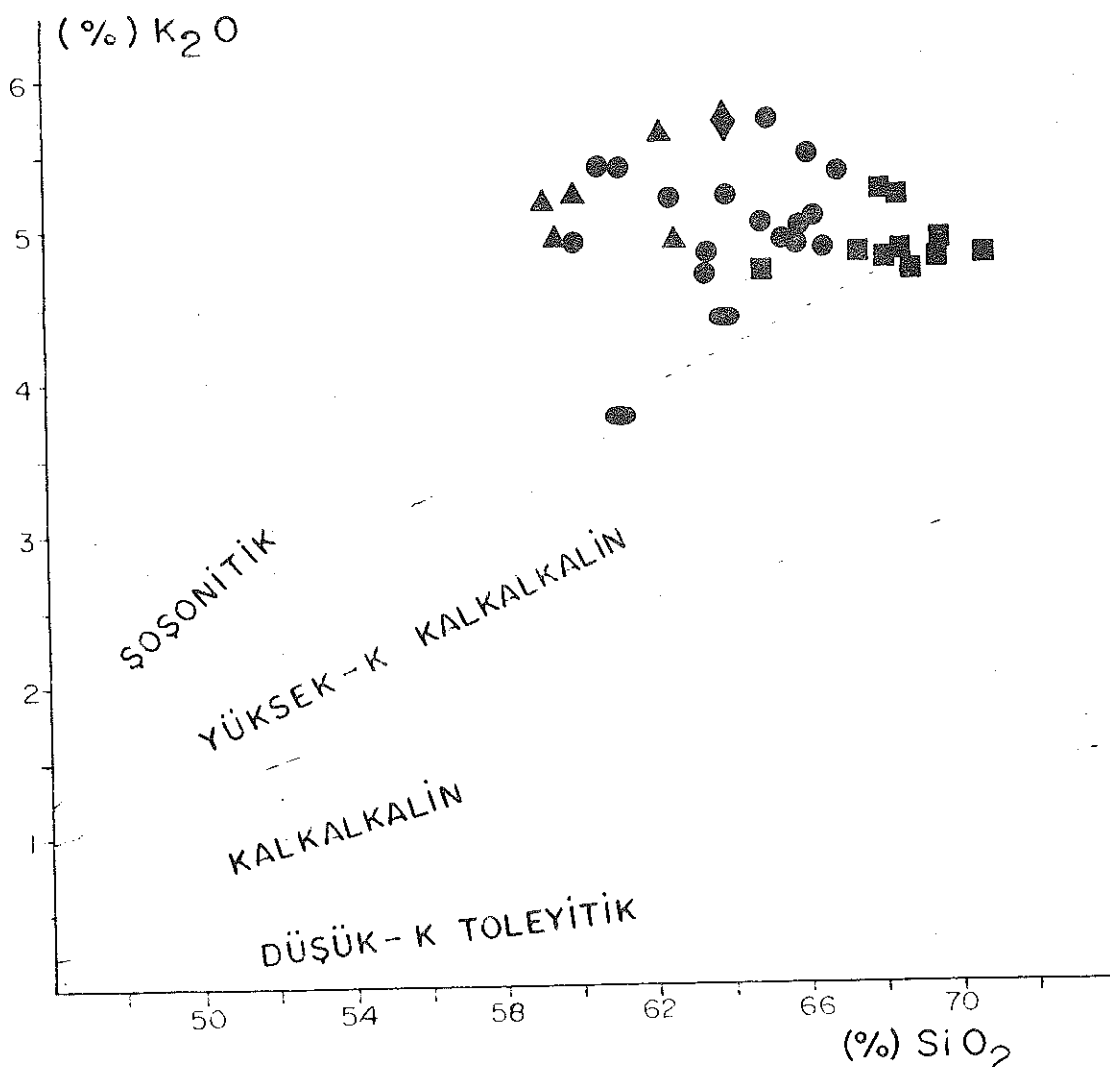
#### Eosen Yaşı Örtü Kayaçları

Çalışma alanındaki Alçı köyünün (Şekil 2) kuzeyindeki Eosen yaşı birimler (Şekil 3), tabanda granitoid çakılı konglomera ile başlamakta ve zaman zaman kömür seviyeleri de içeren kumtaşlı - silttaşlı - kiltaşlı ardalanması şeklinde devam etmektedir. Bu birimin üst seviyelerinde arakatkı olarak gözlenen volkanik kayaçlar ise andezit ve riyodasit bileşimindedirler. Holokristalın porfirik doku gösteren andezitlerin hamuru tamamen plajiyoklaz ve az miktarda da kuvars, hornblend ve opak mineraller gibi bileşenlerden oluşmaktadır. Fenokristal-

ler ise plajiyoklaz ve hornblend minerallerinden meydana gelmiştir. Riyodasitler de tipki andezitler gibi, tamamen kristalin malzemeden meydana gelen bir hamur içinde kuvars, plajiyoklaz, sanidin, hornblend ve biyotit türü fenokristaller içermektedir. Yaygın şekilde killeşmenin geliştiği hamur, başlıca kuvars ve feldispat minerallerinden oluşmaktadır.

#### YOZGAT BATOLİTİ SORGUN GÜNEYİ ANA ELEMENT JEOKİMYASI

Çizelge 1'de görülen ana element kimyasal analiz sonuçları, başlıca Yozgat Batoliti Sorgun güneyi kesimi oluşturan kayaçların magma tipinin belirlenmesinde kullanılmıştır. Analiz verilerinden hesap edilen Debon ve Le Fort (1982) parametrelerinden (Boztuğ, 1986, 1989) A ve B parametrelerinin birbirlerine göre olan değişimleri incelendiğinde (Şekil 5), Yozgat batoliti Sorgun güneyi kesiminin tipik olarak kafemik (CAFEM) bir magma tipini karekterize ettiği görülmektedir. Böyle bir magmatik topluluk, biliñdi gibi, metallümino bölgenin diplerinden başlayarak negatif bir eğimle peralüminmo bölgeye doğru ilerlemektedir (Debon and Le Fort, 1982, 1988; Boztuğ, 1986, 1989). Sorgun güneyi kayaçlarının dağılım gösterdiği V no'lu bölgede koyu renkli mineral olarak klinopiroksen, hornblend ve biyotitin bulunması, kimyasal ölçütlerde göre yapılan sınıflamaların gerçek mineralojik bileşimle uyumlu olduğunu göstermektedir. Debon ve Le Fort (1982) tarafından belirtildiğine göre, A-B diyagramının mettalümino bölgesinin V. sektörü içinde yer alan benzer bir topluluk Güney Grönland'daki Tugtukok alcalin kompleksinde gözlenmiştir. (Upton et. al. 1971) Tugtukok alcalin kompleksinin A-B diyagramındaki konumu V. sektörün orta kesimlerinden başlayıp yaklaşık 450'lik bir eğimle orijin noktasına doğru



**Sekil 9.** Granitoid örneklerinin  $K_2O$ - $SiO_2$  diyagramındaki (Peccerillo and Taylor, 1976) konumları.

**Figure 9.** The positions of the granitoid rock samples in  $K_2O$  vs.  $SiO_2$  diagram of Peccerillo and Taylor (1976).

ilerlerken, Yozgat batoliti sorgun güneyi kayaçları ise VI. bölgenin dip kesimlerinden başlayarak dik bir trend ile matalümino bölgelerin üst kesimlerine (V. bölgenin en üst kesimlerine) kadar ilerlemektedir. Bu bakımından, Sorgun güneyi kayaçlarının B parametresinde önemli bir değişiklik olmaksızın A parametresinde önemli değişiklikler gözlenmektedir. Olmaksızın değişiklikler gözlenmektedir. Örneğin kuvars - monzodiyorit, monzonit, kuvars-monzonit ve adamellitlerin B parametrelerinin ortalamaları, sırasıyla 117, 108, 81 ve 64 iken ; A parametrenin ortalamaları ise sırasıyla - 180, -250, -143 ve -84 tür. Görüldüğü gibi eşit ölçekli X-Y ekseninde gösterilen A ve B parametrelerinden, x eksenindeki B parametresi 64- 117 sınırları arasında değişirken, Y - eksenindeki A parametresi ise - 250 değeri ile -84 değerleri arasında değişmektedir. Kimyasal parametrelerle belirlenen bu özellik, aslında mineralojik bileşime de yansımış olarak

görmektedir. Çünkü, Yozgat batoliti Sorgun güneyi kesimi kayaçlarında peralümino karakterli mafik mineralerden (örneğin muskovit, biyotit, turmalin ve  $Al_2SiO_5$  mineraleri) ziyade, matalümino karakterli mafik mineraler (örneğin klinopiroksen ve amfibol) daha bol bulunmaktadır. Hatırlanacağı gibi, monzonit ve kuvars -monzonitlerdeki ana mafik mineraler amfibol ve piroksen gibi mineraler iken, sadece adamellitlerde amfibol mineralerinin yanı sıra biyotit bulunmaktadır. Koyu renkli mineralerden elde edilen B parametresinin  $Mg/Fe+Mg$  oranına göre değişim diyagramı Debon and Le Fort (1988) incelendiğinde ise, Yozgat batoliti Sorgun güneyi kesiminin daha çok "demirli topluluk" bölgese düşürülmektedir (Şekil 6). Böylece, mafik mineralerin magnezyan karakterden çok demirli bir karaktere sahip oldukları da ortaya çıkmaktadır. Debon and Le Fort (1982, 1988) tarafından önerilen A- B di-

**Çizelge 2.** Tüm kayaç ana element analizleri sırasında analiz edilen CRPG standartlarının önerilen değerleri ile elde edilen değerlerin karşılaştırılması

**Table 2.** The comparison of the proposed and observed values of the CRPG standards which were simultaneously analysed with those of studied area.

**CRPG STANDARTI**

CRPG STANDARTS	SiO <sub>2</sub>	Al <sub>2</sub> O <sub>3</sub>	TiO <sub>2</sub>	tFe <sub>2</sub> O <sub>3</sub>	MnO	MgO	CaO	Na <sub>2</sub> O	K <sub>2</sub> O	P <sub>2</sub> O <sub>5</sub>
MA -N	66.60 (67.26)	17.62 (18.55)						5.84 (5.32)		1.39 (1.37)
GA	69.90 (70.19)						2.45 (2.57)		4.03 (4.37)	
GH	75.80 (74.97)		1.34 (1.48)					3.85 (4.18)		
AN-G								1.63 (1.75)		
GS-N	14.67 (14.56)				2.30 (2.26)	2.50 (2.39)				
DR-N	17.52 (16.78)	1.09 (1.05)			4.40 (4.42)		2.99 (2.83)	1.70 (1.64)	0.250 (0.248)	
Mica- Mg		1.63 (1.71)	9.45 (9.25)	0.260 (0.253)						
Mica-Fe		2.50 (2.44)			0.350 (0.346)	4.55 (4.59)			0.450 (0.461)	
BE-N		2.61 (2.65)		0.200 (0.200)				1.39 (1.33)	1.050 (1.050)	
UB-N			8.34 (7.71)	0.120 (0.124)			1.20 (1.20)			

**Açıklama /Explanation**

CRPG standartları için önerilen değerler Govindaraju (1984) den alınmıştır. Önerilen her bir değerin altında parantez içinde verilen değerler ise Cumhuriyet Üniversitesi Jeoloji Mühendisliği Bölümü Kayaç Kimyası Laboratuvarında ölçülen değerlerdir.

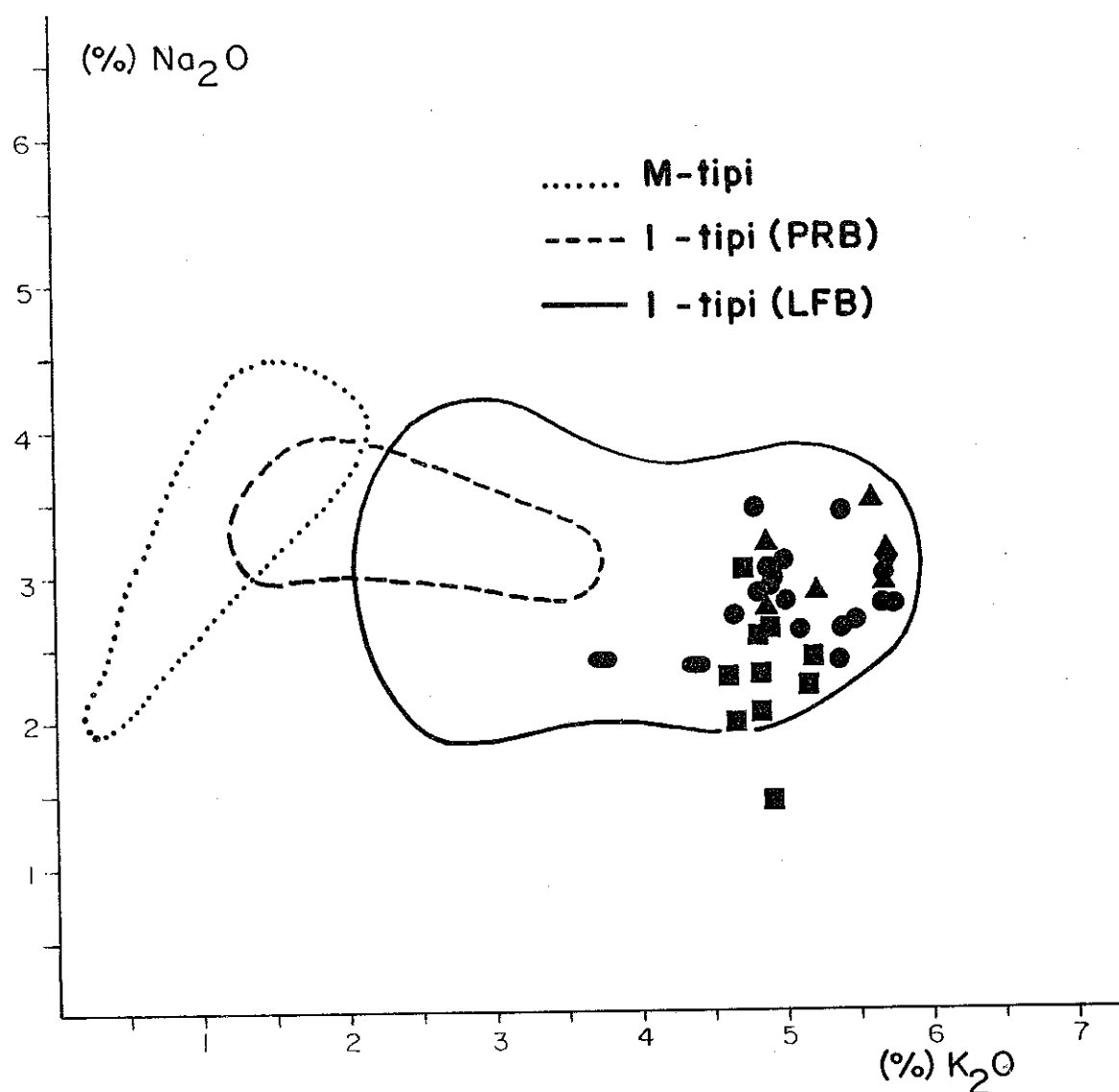
The proposed values for the CRPG standards have been taken from Govindaraju (1984). The values, given below each proposed value in parenthesis, have been analysed in the Rock Chemistry Lab. of the Dept. of Geological Engineering of the Cumhuriyet Univ.

yagramında, kafemik (CAFEM) özellikli magma tipi özelliği gösteren Yozgat batoliti Sorgun güneyi kesiminin alt magma tipinin (örneğin toleyitik, kalkalkalin, koyu renkli subalkalin, açık renkli subalkalin, alkalilerce doygun, alkalilerce aşırı doygun ve alkalilerce çok aşırı doygun alt tipleri) belirlenmesi için QBF üçgen diyagramı (Debon and Le Fort, 1982 1988; Boztug, 1986, 1989) kullanılmıştır. Şekil 7'de görülen QBF diyagramından da görüleceği gibi, Sorgun güneyi magmatik kayaçlarından monzonitler, kuvars- monzonitler ve adamellitler topluca değerlendirildiklerinde, bunların tanımladıkları trendin alkalilerce aşırı doygun (ALKOS) trendine daha oldukları, diğer taraftan kuvars - monzodiyoritler ile bir kısım kuvars monzonitlerin ise beraberce koyu renkli subalkalin (SALKD) trendin mafik minerallerce fakir

kesimi tarafından tanımlanan trende benzer bir dağılım sergiledikleri de görülmektedir. Benzer şekilde, QBF üçgen diyagramında Q (kuvars) bakımından diğer örneklerde göre zenginleşme gösteren 6 adet adamellit örneğinin ise açık renkli subalkalin (SALKL) trendine benzer bir gidiş gösterdikleri de ileri sürülmektedir. Tüm bu değerlendirilmelerin ortak olan bir yanı, Yozgat batoliti Sorgun güneyi kesiminin tipik kalkalkalin özelliklere sahip olmadığıdır. Zaten, Kırşehir bloğundaki diğer bazı plütonlarda yapılan araştırmalarda, Baranadağı pütonunun monzonit, kuvars - monzonit, kuvars - monzodiyorit ve kuvars - siyenit bileşiminde olduğu ve ayrıca alkalilerce aşırı doygun (ALKOS) (Bayhan, 1987) veya alkanit (Lünel, 1985) özellikte olduğu ; Cefalıdağ plütonunun kuvars - monzodiyorit, kuvars - monzonit ve

adamellit bileşiminde olduğu ve koyu renkli subalkalin (SALKD) bir karekter gösterdiği (Bayhan, 1987) belirlenmiştir. Çelebi - Hirfanlar arasındaki Bolkardağ ve Çelebidağ plutonlarının (Bayhan, 1986) ise Irvine and Baragar (1971) diyagramlarına göre kalkalkalin özellik göstermelerine rağmen, granit ve granodiyorit gibi kayaçların yanısıra kuvars - monzodiyorit ve kuvars - monzonit bileşiminde kayaçları da içeriği bilinmektedir. Tüm bu değerlendirmelerin sonucu olarak, Yozgat batoliti Sorgun güneyi kesimini oluşturan kayaçların kafemik (CAFEM) topluluğun alkalilerce aşırı doygun (ALKOS) alt topluluğuna ait olabileceği öne sürülebilir. Ancak Şekil 7'den de görülebileceği gibi, Debon and Le Fort (1982, 1988) tarafından tanımlanan alkalilerce aşırı doygun (ALKOS) trende sahip normal bir alt toplulukta kayaçların kuvars içeriklerinde önemli bir düşüş meydana gelirken, koyu renkli minerallerde az bir artış ancak feldispat içeriğinde ise fazla bir artış görülmektedir. Oysa Yozgat batoliti Sorgun güneyi kesimindeki kayaçların kuvars içeriğindeki önemli düşme sonucunda feldispat ve koyu renkli minerallerin miktarlarındaki artışlar hemen hemen eşit düzeyde olduğundan, alkalilerce aşırı doygun (ALKOS) alt topluluğun trendinden - koyu renkli subalkalin (SALKD) alt topluluğu trendine doğru bir kayma meydana gelmiştir.

Yozgat batoliti Sorgun güneyi kesiminin toplam alkaliler -  $\text{SiO}_2$  (TAS) diyagramındaki dağılımlarına göz atıldığında da (Şekil 8), Kuno (1968) tarafından tanımla-



Şekil 10. Granitoid örneklerinin  $\text{Na}_2\text{O}$  -  $\text{K}_2\text{O}$  diyagramındaki konumları (diagram Chappel and Stephens, 1988 tarafından ve rilen Şekil 2'ye dayandırılmıştır).

Figure 10. The positions of the granitoid rock samples in  $\text{Na}_2\text{O}$  vs.  $\text{K}_2\text{O}$  diagram (it is mainly based on fig. 2 of Chappel and Stephens, 1988).

nan sınır değerlerine göre çoğunlukla alkalin ve az bir miktarda alkaline yakın subalkalin bölgede yer aldıkları görülmektedir. Irvine and Baragar (1971) tarafından tanımlanan sınır değerlerine göre ise çoğunlukla alkaline yakın subalkalin bölgede ve az bir miktarda alkalin bölge de yer aldıkları görülmektedir. Sorgun güneyi kesimi kayaçlarının Şekil 7'de alkalilerce aşırı doygun (ALKOS) ve Şekil 8'deki TAS diyagramında da alkalin - subalkalin bölgesinde konumlanmalarının nedeni Çizelge 1 den de kolayca görülebileceği gibi yüksek  $K_2O$  içeriğinden kaynaklanmaktadır. Bu kayaçların %  $K_2O$  içeriğinin yüksek olduğu  $K_2O$  -  $Si_2O$  diyagramındaki (Peccerillo and Taylor 1976) konumlarına bakıldığından da kolayca anlaşılmaktadır (Şekil 9). Benzer şekilde, Yozgat batoliti Sorgun güneyi kesiminin %  $K_2O$  içeriği bakımından zenginliğini gösteren bir diğer diyagram ise Şekil 10'da görülmektedir. %  $Na_2O$ - $K_2O$  dağılımına dayandırılan bu şekilden de görüldüğü gibi, Yozgat batoliti güneyi kesimi sodyuma göre potasyum zenginleşmesinin olduğu ve Avustralya'daki Lachlan kıvrım kuşağında (Lachlan Fold Belt) görülen alt kabuk kökenli I- tipi granitoyid bölgesine (Chappel and Stephens, 1988) düşmektedir.

### YOZGAT BATOLİTİ GÜNEYİ KESİMINİN PETROJENEZİ

Buraya kadar anlatılan bölümlerden de görüleceği gibi, Yozgat batoliti Sorgun güneyi kesimi kayaçları başlıca kuvars - monzodiyorit, monzonit, kuvars- monzonit ve adamellit bileşiminde olmakla birlikte kuvars - siyenit porfir türü damar kayaçlarını da içermektedir. Ana element jeokimyasında elde edilen parametrelerle göre kafemik (CAFEM) bir magmanın alkalilerce aşırı doygun (ALKOS) alt tipine (Debon and Le Fort 1982, 1988) karşılık gelmektedir. Debon and Le Fort (1982) tarafından belirtildiğine göre, kafemik karakterli kayaç toplulukları Chappel and White (1974) ve White and Chappel (1977) tarafından tanımlanan I- tipi granitoyidlerle denetirilebilmekte ve bunların türeyebileceği hibrid magmalarda, manto kökenli katının daha fazla olabileceği belirtilmektedir. Diğer taraftan I- tipi ve S- tipi granitoyidlerin ayırt edici mineralojik ve kimyasal karakteristiklerine (Boztuğ, 1986, 1989) bakıldığından, Yozgat batoliti Sorgun güneyi kesiminin tamamen ve tipik olarak I- tipi özelliğinde olduğu görülmektedir. Çünkü bu kayaçların ana mafik mineral topluluğunda horblend ve hatta klinopiroksen bulunmakta ve normatif mineralojik bileşiminde ise diopsit bulunmaktadır (bkz. Çizelge 1). Ayrıca  $Al/(Na+K+Ca/2)$  oranının da 1.1 den küçük olduğu gözlenmektedir (bkz. Çizelge 1). Diğer taraftan apatit, titanit ve hatta zirkon gibi tali bileşenler yuvarlaşmış biçimlerden ziyade I- tipi granitoyidlere özgü yarı özçekilli ve özçekilli prizmatik bileşenler haliinde ve genellikle hornblend ve biyotit türü mafik mineralerin içinde kapanmış olarak da gözlenmektedir (Chappel and White 1974; White and Chappel, 1977; Boztuğ, 1986, 1989).

Chappel and Stephens (1988) tarafından belirtildiği ne göre, granitik kayaçlar; manto kökenli katının fazla olduğu yay magmatizması ile meydana gelebildikleri gibi (M- tipi granitler), böyle bir magmatizma ile kabuğun derin kesimlerinde oluşan kayaçların daha sonraki bir dönemde kısmi erimesinden türeyen magmalardan da meydana gelebilmektedirler (I- tipi granitler). M- tipi granitoyidler, petrografik olarak gabro, diyorit ve kuvars diyorit bileşiminde olan ve alkali elementlerden sodyumun potasyuma göre önemli ölçüde zenginleşme gösterdiği (Şekil 10) kayaçlar olarak tanımlanmaktadır (Pitcher, 1982; Whalen, 1985). Alt kabukta bulunan ve tamanın magmatik kökenli kaynak malzemenin kısmı ergimesi sonucunda ortaya çıkan I- tipi granitoyid magmaları ise, kısmi erime derecesi ve ortaya çıkan magmatik eriyiğin bileşimine bağlı olarak kendi aralarında tonalitik I- tipi (veya I-tipi PRB) ve granodioritik I- tipi (veya I- tipi LFB) olarak da ikiye ayrılmaktadır (Chappel and Stephens 1988). Buna da I- tipi PRB olarak tanımlanan kayaçlar, Peninsular Range Batholith'de bulunan ve Şekil 10'da da görüldüğü gibi, potasyum içeriği M- tipi granitoyidlere göre biraz daha artmış olan granitoyidlerdir. Chappel and Stephens (1988) tarafından belirtildiğine göre, Peninsular Range Batholith kayaçları, manto malzemesi katısının fazla olduğu bir yay magmatizması ile oluşan magmatik kayaçların tekrar kısmı ergimesi sonucunda meydana gelen magmatik eriyiğin katlaşmasından oluşmuşlardır. I-tipi (LFB) olarak tanımlanan ve Lachlan Fold Belt (Avustralya) bölgesinde bulunan granitoyidler ise potasyum bakımından gerek M- tipi, gerekse I- tipi (PRB) granitoyidlere göre oldukça zenginleşmişlerdir (Şekil 10). Chappel and Stephens (1988), Lachlan kıvrım kuşağında bulunan I- tipi granitoyidlerin, tipki (PRB) granitoyidlereinkine benzer bir magmatik kaynak kayacın kısmi ergimeye uğraması ve bu sırada oluşan magmatik eriyiğin kristal (veya restit) fraksiyonlanması sonucunda ortaya çıkan daha felsik bileşimli magmalardan türedikleri ileri sürmektedirler.

Yozgat batoliti Sorgun güneyi kesiminin mineralojik - petrografik ve ana element jeokimyası verilerinin, Chappel and Stephens (1988) tarafından ileri sürülen değerlendirilmeler ışığında yorumlanması sonucunda, bu kayaçların, tipik olarak I-tipi (LFB) özelliğine sahip bir petrojenez mekanizması ile meydana gelebilecekleri sonucuna varılmıştır (Şekil 10).

### SONUÇLAR VE TARTIŞMA

Kırşehir bloğunu kuzey kesimlerinde Yozgat ilinin hemen güneyinde, oldukça büyük bir alanı kaplayan (yaklaşık  $1200 \text{ km}^2$ ) granitoyid kütlesi Yozgat Batoliti olarak isimlendirilmiştir. Yozgat batolitinin doğu kesimi, diğer bir deyişle Sorgun güneyi kesimi Kalkanlıdağ formasyonu (Seymen, 1981) olarak tanımlanabilecek metamorfiter içine sokulum yapmıştır. Yer yer kömürülü seviyeler de içeren volkanik arakatkılı Eosen yaşı sedi-

manter kayaçlar Sorgun güneyi magmatik kayaçlarını uyumsuzlukla örtmektedirler. Daha önceki çalışmaların bölgesel jeolojik konum içindeki sonuçları da göz önüne alındığında, Yozgat batolitinin Paleosen yaşı olabileceği kabul edilmektedir.

Yozgat Batoliti Sorgun güneyi kesimi, Orta - kaba taneli, genellikle taneli bazan da porfirik doku gösteren monzonit, kuvars-monzodiyorit, kuvars-monzonit ve adamellit türü kayaçlardan oluşmaktadır ve ayrıca kuvars-siyenit porfir türü kayaçları içermektedir. Ana element jeokimyası verileri, bu kayaçların, kafemik (CAFEM) özellikli bir magma'nın alkalilere aşırı doygun (ALKOS) alt tipine karşılık geldiğini göstermektedir. Alkaliller bakımından zenginleşme, özellikle  $K_2O$  içeriğindeki fazlalıktan kaynaklanmaktadır. Mineralojik ve jeokimyasal ölçütlerin birlikte değerlendirilmesi sonucunda I-tipi (LFB) karakter görülmektedir. Tüm bu verilere dayanarak, Yozgat batoliti Sorgun güneyi kesiminin, daha önceden oluşmuş bir yay magmatizması ile kabuğun derin kesimlerinde katılaşarak meydana gelen kayaçların, daha sonraki jeolojik olaylarla kısmi erimeye uğramaları sonucu meydana gelen magmadan itibaren oluşabilecekleri ileri sürülebilir. Kırşehir bloğu ve yakın çevresinin jeodinamik evrimine bakıldığından, yöredeki granitoyidlerin And tipi bir yay plütonizması ile (Görür et al., 1985) veya pontidlerin, Anatolid - Torid platformu ile Geç Senonye'de çarpması sonucunda meydana gelen magmatik aktivite ile oluştuğu ileri sürülmektedir (Çapan ve diğ., 1983, Bayhan, 1986 dan). Diğer taraftan yukarıda belirtilen çarpmmanın Alt Eosen'de meydana gelmiş olduğu ileri sürülmektedir (Şengör ve Yılmaz, 1983). Dalma - batma zonunda tükenen okyanusal kabuk malzemesinden sonra kıtasal kabuk karekterli kayaçların karşı karşıya gelmeleri şeklinde değerlendirilebilecek çarpması ile ilgili kabuk kalınlaşması nedeniyle meydana gelebilecek granitoyid oluşumlarından Debon et al. (1987) de bahsetmektedir. Debon et al. (1987) tarafından, Himalayalardaki Band - E Bayan ve Farah Rod granitoyid kuşaklarında, Yozgat batoliti Sorgun güneyi kesiminin gösterdiği mineralojik- petrografik ve jeokimyasal özellikler benzer özellikler gösteren (örneğin monzonit, kuvars- monzodiyorit, kuvars-monzonit, adamellit ve kuvars - siyenit bileşiminde; kafemik (CAFEM) ve koyu renkli subalkalin (SALKD) veya alkalilere aşırı doygun (ALKOS) karekter gösteren) plütonların petrojenez mekanizmaları da, Kretase dönemindeki dalma - batma ve hemen arkasından meydana gelen çarpması ile ilgili olaylara bağlanmaktadır (Debon et al., 1987).

Yozgat batolitinin Sorgun güneyi kesiminde yürütülen bu çalışmadan elde edilen sonuçlara dayanarak, Yozgat batoliti ve hatta Kırşehir bloğundaki diğer bazı plütonların (örneğin Baranadağ ve Cefalikdağ Plütonlarının) oluşumu için söyle bir petrojenetik model ileri sürülebilir:

Alt Tersiyer öncesi bir dönemde etkin olan yay magmatizması ile meydana gelen derin kabuk konumlu

plütonik kayaçların, daha sonraki bir jeolojik olayla, muhtemelen Alt Tersiyerdeki Pontid -Kırşehir bloğu çarpmasının yol açabileceği kabuk kalınlaşması ile kısmi erimeye uğrayarak I- tipi granitoyid magması meydan getirebilecekleri düşünülmektedir. Böyle bir düşünce, aynı zamanda, Lünel (1985) tarafından ileri sürülen oluşum modeli ile de kısmen uyum içindedir.

Diger taraftan Yozgat batoliti hakkında daha kesin sonuçların elde edilebilmesi için, eser element, REE ve izotop jeokimyası gibi laboratuvar çalışmalarına da gereksinim duyulmaktadır. Ayrıca, Yozgat batolitinin sokulum yaptığı ve Kaman grubu olarak adlandırılan metamorfitlerde, granitoyid sokulumu nedeniyle meydana gelebilecek kontakt metamorfizma etkileri de incelenmelidir.

## KATKI BELİRTME

Bu çalışma, Cumhuriyet Üniversitesi Araştırma Fonu tarafından desteklenmiştir (MF-19 no'lu araştırma projesi). Laboratuvar çalışmaları sırasında yardım ve ilgileinden dolayı C. İ. Jeoloji Müh. Bölümü İnce Kesit, Kırma - Öğütme - Eleme ve Kayaç Kimyası Laboratuvarı teknisyen ve uzmanlarına teşekkür ederim.

## KAYNAKLAR

- Arikan, Y., 1975,** Tuz gölü havzasının jeolojisi ve petrol imkanları, MTA Derg., 85, Ankara.
- Ataman, G., 1972,** Ankara'nın güneydoğusundaki granitik - granodiyoritik kütlelerden Cefalikdağın radiometrik yaşı hakkında ön çalışma, Hacettepe Fen ve Müh. Bil. Der., 2,1, 44-49.
- Ayan, M., 1963,** Contribution à l'étude petrographique et géologique de la région située au nord-est de Kaman (Turquie), MTA Yayın, 115, 332 s., Ankara
- Bayhan, H., 1986,** İç Anadolu granitoyid kuşağındaki Çelebi sokulumunun jeokimyası ve kökensel yorumu, Jeoloji Mühendisliği, 29, 27-36.
- Bayhan, H., 1987,** Cefalikdağ ve Baranadağ plütonlarının (Kaman) petrografik ve kimyasal - mineralojik özellikleri, Jeoloji Mühendisliği, 30- 31, 11-16.
- Bayhan, H., 1988,** Bayındır - Akpinar (Kaman) yörenindeki alkali kayaçların jeokimyası ve kökensel yorumu, Türkiye Jeoloji Bülteni, 31, 59 - 70.
- Bayhan, H. ve Tolluoğlu, A. İ., 1987,** Çayağız siyenitoğının (Kırşehir kuzey- batısı) mineralojik - petrografik ve jeokimyasal özellikleri, Yerbilimleri, 14, 109 -120.
- Bingöl, E., 1989,** 1/2.000.000 ölçekli Türkiye Jeoloji Haritası, MTA Yayımları, Ankara.
- Boztuğ, D., 1986,** Granitoyidler : Erler, A. (ed.) Jeokimya Ortamlarda Türkiye Jeol. Kurumu Yerbilimleri Eğitim Dizisi, Ertem Matbabacılık, 93-176, Ankara

- Boztuğ, D., 1989,** Granitoidler, MTA Eğitim Serisi 30, 138., Ankara
- Cahappel, B.W. and Stephens, W. E., 1988,** Origin of infracrustal (I-type) granite magmas, Transactions of the Royal Soc. of Edinburgh : Earth Sciences, 79, 71-86.
- Cahappel, B.W. and White, A. J. R., 1974,** Two contrasting granite types : expanded abstract, Pacific Geology, 8, 173- 174.
- Çapan, U. Z., Lauer, J. P. ve Whitechurch, H., 1983,** Ankara Melanji (Orta Anadolu): Tetis kapanışını belirlemekte önemli bir eleman, Yerbilimleri, 10, 35-43.
- Debon, F. And Le Fort P., 1982,** A chemical - mineralogical classification of common plutonic rocks and associations, Transactions of the Royal Soc. of Edinburgh: Earth Sciences, 73, 135 - 149.
- Debon, F. And Le Fort P., 1988,** A cationic classification of common plutonic rocks and their magmatic Associations: principles, method, applications, Bull. minéral., 111, 493 -510.
- Debon, F., Afzali, H., Le Fort, P., Sonet, J. and Zimmerman J. L., 1987,** Plutonic rocks and associations in Afghanistan. Typology, age and geodynamic setting, Mémoires Sciences de la Terre, 49, 132 p, Nancy, France.
- Erkan, Y., 1978,** Kayaç oluşturan önemli minerallerin mikroskopta incelenmeleri, Hacettepe Üniversitesi Yayınları, A-26, 497 s, Ankara.
- Erkan, Y., 1981,** Orta Anadolu masifinin metamorfizması türlerinde yapılmış çalışmaların sonuçları, İç Anadolu'nun Jeolojisi Simpozyumu, Türkiye Jeoloji Kurumu 35. Bil. ve Tek. Kurultayı, 9 - 11, Ankara.
- Erkan, Y., 1988,** Mikroskopta çalışma yöntemleri, Ankara Univ., Fen Fakültesi Yayımları, 148, 114s, Ankara.
- Govindaraju, K., 1984,** 1984 compilation of working values and sample description for 170 international reference samples of mainly silicate rocks and minerals, Geostandards Newsletter, 8 Special Issue, 3- 16.
- Görür, N., Oktay, F., Seymen İ. and Şengör A. M. C., 1985,** Paleotectonic evolution of the Tuz Gölü basin complex, Central Turkey : Sedimentation record of a neo - Tethyan closure: in Geological Evolution of Eastern Mediterranean, Dixon, J. E. and Robertson, A. H. F. (eds), 81- 96.
- Irvine, T. N. And Baragar, W. R. A., 1971,** A guide to the chemical classification of the common volcanic rocks, Can. J. Earth Sci., 8, 523 -548
- Ketin, İ., 1955,** Yozgat bölgesinin jeolojisi ve Orta Anadolu Masifinin tektonik durumu, Türkiye Jeoloji Kur. Bült., 6, 1, 1-40.
- Ketin, İ., 1963,** 1/500.000 ölçekli Türkiye Jeoloji Haritası, Kayseri Paftası, MTA Yayımları, Ankara.
- Kuno, H., 1968,** Differentiation of basaltic magma : In Basalts 2, Hess, H.H. and Poldervaart, A. (eds), Interscience Publ., 623- 688, New York.
- Lunel, A. T., 1985,** An approach to the naming, origin and age of the Baranadağ monzonite of Kırşehir intrusive suite, METU J. Pure and Appl. Sci., 18,3, 385-404.
- Peccerillo, A., and Taylor, S. R., 1976,** Geochemistry of Eocene calc - alkaline volcanic rocks from the Kastamonu area, Northern Turkey, Contrib. Mineral. Petrol., 58, 63-81
- Pitcher, W. S., 1982,** Granite type and tectonic environment: In Mountain building processes, Hsü, K.J. (ed.), 19- 40, London Academic Press.
- Poisson, A., 1986,** The Anatolian micro - continent in the Eastern Mediterranean context: The neo - Tethysian oceanic troughs, Sciences de la Terre, Mémoire 47, 311 - 328.
- Seymen, İ., 1981,** Kaman (Kırşehir) dolayında Kırşehir masifinin metamorfizması, İç Anadolu'nun Jeolojisi simpozyumu, Türkiye Jeoloji Kurumu 35. Bil. ve Tek. Kurultayı, 12-15.
- Streckeisen, A., 1976,** To each plutonic rock its proper name, Earth - Sci. Rev., 12, 1-33.
- Şengör, A. M. C., 1984,** The Cimmeride orogenic system and the tectonics of Eurasia, Geological Soc. Am., Special Paper, 195, 82pp.
- Şengör, A. M. C. ve Yılmaz, Y., 1983,** Türkiye'de Tetis'in evrimi: Levha tektoniği açısından bir yaklaşım, Türkiye Jeoloji Kurumu Yerbilimleri Özel Dizisi, 1, 75s, Ankara.
- Tatar, Y., 1977,** Ofiyolitli Çamlıbel (Yıldızeli) bölgesinde streligrafisi ve petrografisi, MTA Derg., 88, 56-73.
- Tülämen, E., 1980,** Akdağmadeni (Yozgat) yöresinde petrografik ve matalojenik incelemeler, Doktora Tezi, KTÜ - Trabzon.
- Upton, B. G. J., Thomas, J. E. and Macdonald, R., 1971,** Chemical variation within three alkaline complexes in South Greenland, Lithos, 4, 163- 184.
- White, A. J. R. and Chappel, B. W., 1977,** Ultrametamorphism and granitoid genesis, Tectonophysics, 43, 7-22.
- Whalen, J. B., 1985,** Geochemistry of an island arc plutonic suite: The Uasila Yau- Yau intrusive kompleks, New Britain, P. N. G., J. Petrol., 26, 603- 632.